

Linii și Suprafețe Ascunse: Cazuri Speciale

În acest al treilea capitol despre îndepărtarea liniilor și suprafețelor ascunse, vom trata două cazuri speciale; ambele afișează funcții matematice de două variabile independente. Vor fi trei secțiuni.

1 Introducere furnizează o serie de informații generale.

2 Îndepărtarea Liniiilor Ascunse pentru Funcții Bi-Dimensionale explică modul în care se trasează curbe care reprezintă o suprafață prin trasare de linii la intervale constante, pentru fiecare din variabilele independente. Dificultatea apare la al doilea set de curbe.

3 Suprafețe Grilă prezintă modul în care se afișează funcții în care suprafața este o interpolare liniară a valorilor în punctele unei grile, uniform distribuite pe ambele direcții.

1 Introducere

În aplicațiile matematice și ingineresti se obișnuiește să se afișeze o funcție de suprafață de forma

$$z = f(x, y)$$

În această notație, planul (x,y) este imaginat orizontal, iar valorile z sunt înălțimi; z definește o suprafață în spațiu. În grafica pe calculator, aproape toate sistemele de coordonate plasează planul (x,y) în ecran, cu axa z perpendiculară pe acesta. Forma de mai sus ar putea intra în conflict fie cu imaginația noastră, fie cu convenția coordonatelor în grafica pe calculator, așa că vom exprima funcția ca:

$$y = f(x, z)$$

Aici, funcția este definită în planul orizontal (x,z) . Esențial este ca f să fie o funcție cu

valoare unică pentru x și z , altfel vom avea două suprafețe. O astfel de funcție poate fi afișată fără liniile ascunse utilizând algoritmul orizontului flotant (relativ simplu). Vom prezenta acest algoritm pentru display-uri raster.

2 Îndepărtarea Liniilor Ascunse pentru Funcții Bi-Dimensionale

Vom afișa funcția prin trasarea a două seturi de curbe în spațiu. Primul set de curbe sunt intersecții ale lui $f(x,z)$ cu plane $z=\text{constant}$; celălalt set reprezintă intersecții ale lui $f(x,z)$ cu plane $x=\text{constant}$. Ca efect, suprafața este afișată sub forma unei rețele. Trasarea acestor curbe este simplă; dificultatea apare la îndepărtarea liniilor ascunse. Vom dezvolta algoritmul în mai mulți pași.

2.1 Trasarea Unidirecțională

Atunci când trasăm primul set de curbe, eliminarea părților ascunse ale curbelor este simplă. Vom presupune că primul set de curbe reprezintă intersecții ale lui $f(x,z)$ cu plane $z=\text{constant}$. Dacă poziția observatorului este pe semiaxa z negativă, planele $z=\text{constant}$ corespunzătoare la valori mai mici vor fi mai apropiate.

Idea de bază a algoritmului este:

- Trasează curbele mai apropiate înaintea celor mai îndepărtate.
- Trasează numai acele părți ale fiecărei curbe care sunt deasupra sau mai jos față de ceea ce s-a trasat până în acel moment.

Aceasta este situația din Figura 3.1. Curbele de la 1 la 5 se trasează în această ordine. Atunci când o curbă este sub orizontul superior sau peste orizontul inferior, nu se trasează; afișăm doar acele părți care sunt deasupra orizontului superior sau sub orizontul inferior. Se actualizează fiecare orizont cu partea care îl depășește. În partea din stânga vedem fața superioară a suprafeței; pe mijloc și în partea dreaptă avem fața inferioară.

Bineînțeles, curbele care formează suprafața se trasează prin setarea pixelilor pe un display raster. Presupunem că display-ul are lățimea de w pixeli și înălțimea de h pixeli. Fiecare pixel care trebuie setat are coordonatele întregi i_x și i_y ; $i_x \in [1,w]$ și $i_y \in [1,h]$. Orizonturile superior și inferior se păstrează în două

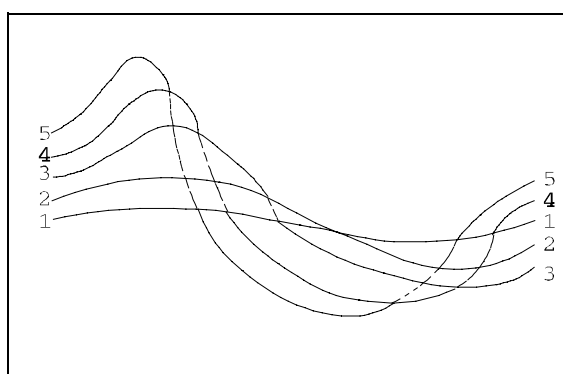


Figura 3.1

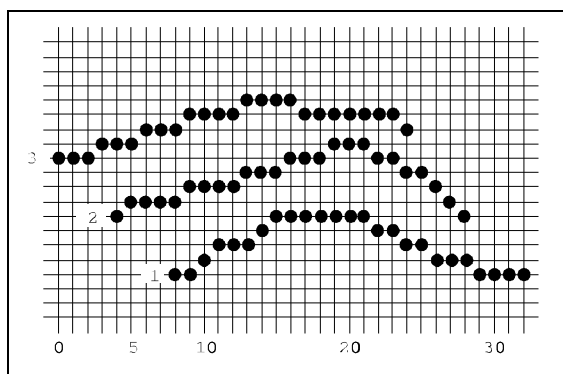


Figura 3.2

tablouri de numere întregi de dimensiune w , numite up_hor și lo_hor . Up_hor va conține valorile y cele mai mari, iar lo_hor pe cele mai mici trasate până în acel moment.

Ne vom limita la trasarea unei curbe de la stânga la dreapta, în incremenți de (cel mult) un pixel pe orizontală. Aceasta se realizează prin calcularea lui $y=f(x,z)$, $z=constant$, incrementând pe x astfel încât să avem pași de cel mult un pixel pe diplay. Pasul vertical poate avea orice valoare.

Fie y înălțimea curbei în poziție (x,z) . Mai întâi rotunjim pe x și y : $curr_x=round(x)$ și $curr_y=round(y)$, apoi comparăm pe $curr_y$ cu $up_hor[curr_y]$. Dacă este mai mare setăm pixelul $(curr_x,curr_y)$ și actualizăm $up_hor[curr_x]$. Altfel, comparăm $curr_y$ cu $lo_hor[curr_y]$. Dacă este mai mic, setăm pixelul $(curr_x,curr_y)$ și modificăm $lo_hor[curr_x]$.

Pentru începerea procesului, trebuie să inițializăm up_hor și lo_hor . O variantă ar fi să le inițializăm cu valorile primei curbe. Aceasta ar fi valabil dacă toate celelalte curbe au aceeași întindere pe orizontală ca și prima curbă. Totuși, dacă suprafața este privită oblic, curbele care urmează se pot întinde mai mult la stânga sau la dreapta. Un exemplu este prezentat în Figura 3.2. Curba 1 pornește cu $curr_x=8$, dar curba 2 începe cu $curr_x=5$ și ar găsi elemente neinițializate în up_hor și lo_hor . Similar pentru curba 3 și următoarele.

Avem nevoie de o regulă de inițializare mai generală. Vom inițializa cele două tablouri cu valori care nu vor fi întâlnite pe parcurs. Apoi, când se calculează valoarea curbei în $curr_x$, vom ști dacă $up_hor[curr_x]$ și $lo_hor[curr_x]$ au fost modificate. Dacă nu, le setăm pe această valoare a primei curbe. Dacă au fost modificate, le utilizăm pentru comparații și le actualizăm, dacă este cazul, după cum s-a descris mai sus.

Mai trebuie luată în considerare o altă problemă. Figura 3.3 prezintă o curbă foarte plată și una foarte abruptă. Părțile abrupte arată foarte dispersate, deoarece se avansează câte un pixel la fiecare pas orizontal. Ce se poate face?

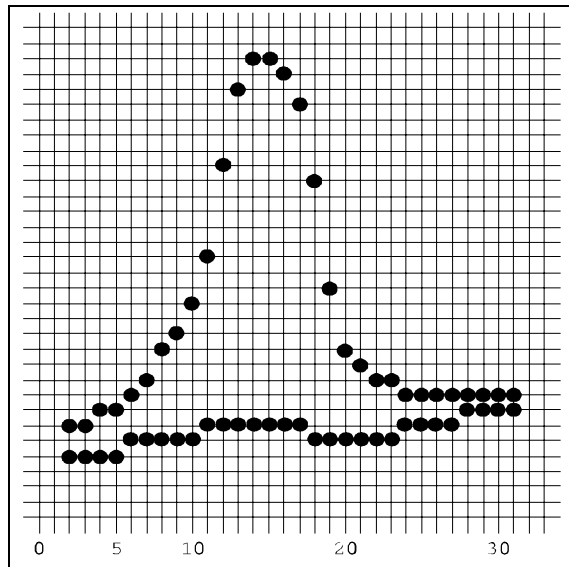


Figura 3.3

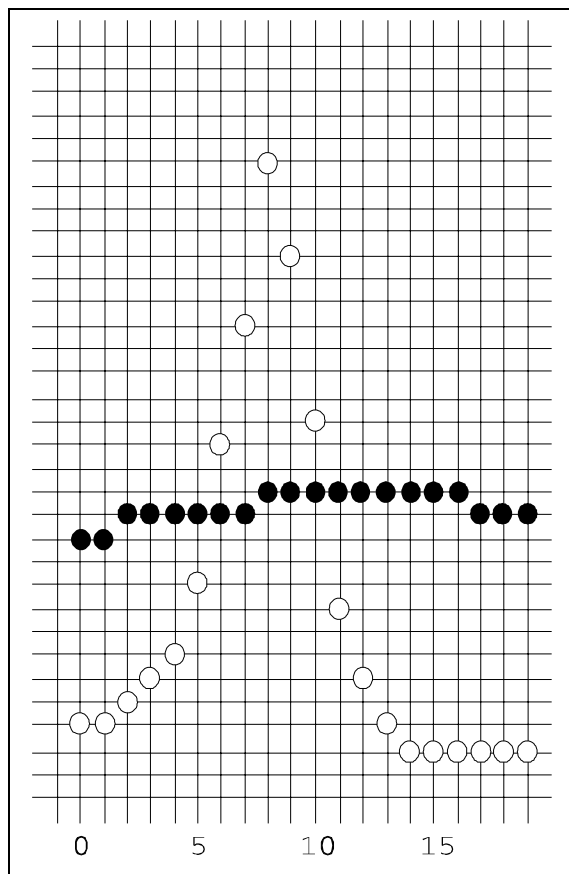


Figura 3.4

Dacă am utiliza pași mai mici pe direcția x când evaluăm funcția, atunci pentru o porțiune foarte abruptă a funcției mai multe valori ale lui x vor fi rotunjite la același curr_x, deși valorile y vor fi diferite. Pe măsură ce y crește, se vor seta pixelii corespunzători la același curr_x, astfel încât curba va arăta ceva mai densă pe porțiunea ascendentă, însă, pe porțiunea descendentă se va seta un singur pixel, deoarece orizontul superior îi va elimina pe ceilalți. De asemenea, prin mai multe evaluări ale funcției se consumă timp. De aceea, aceasta nu este o soluție acceptabilă.

O soluție mai bună este să setăm un singur pixel la fiecare poziție evaluată a curbei și să unim aceste poziții prin segmente de dreaptă. Trebuie să cunoaștem punctul de start al segmentului - memorăm ultimul curr_x. (De reținut că valorile succesive pentru x nu conduc neapărat la creșterea lui curr_x și că, mai târziu, va trebui să evaluăm funcția pentru perechi (x,z) care pot conduce la descreșterea lui curr_x.)

Atunci când cunoaștem poziția curr_x precedentă, cunoaștem poziția de start a segmentului; dacă noua valoare curr_x este deasupra orizontului superior, segmentul începe de la orizontul superior, la precedentă poziție curr_x. Acest lucru este valabil chiar dacă poziția curr_y precedentă este sub orizontul superior, întrucât părțile de sub orizont nu se trasează. O situație similară se aplică pentru un segment trasat până la un punct al curbei situat sub orizontul inferior. De aceea, vom trata în detaliu numai cazul cu orizontul inferior. În Figura 3.4, orizontul superior este reprezentat prin puncte negre. Noua curbă este foarte abruptă și este indicată prin puncte albe. Vom preciza punctele albe cu notația curr_y[i], deși curr_y nu este un tablou în cadrul algoritmului; de exemplu, curr_y[5] este punctul alb din coloana 5.

Pentru simplificare, presupunem că valorile curr_x cresc cu 1 la fiecare evaluare a funcției. Pentru curr_x între 0 și 5, valorile curr_y sub orizontul superior - ce se execută în acest caz va fi descris mai târziu. La curr_x=6 valoarea curr_y este deasupra orizontului superior: curr_y[6]>up_hor[6].

Valoarea precedentă a lui curr_x este 5. Se observă că trebuie să trasăm un segment până în punctul (6,curr_y[6]). Punctul de start nu este (5,curr_y[5]), ci trebuie să fie (5,up_hor[5]), ca să nu fie trasate și porțiunile de sub orizont. De asemenea, noua valoare a lui up_hor[6] este curr_y[6]. Situația se păstrează până la curr_x=10.

La curr_x=11 întâlnim o situație nouă: curr_y este sub orizont, curr_y[11]<up_hor[11]. Trebuie să trasăm un segment de la (10,up_hor[10]) la (11,up_hor[11]), ca să nu trasăm și partea de sub orizont. Pentru a formaliza: fie prec_x valoarea precedentă a lui curr_x. Atunci

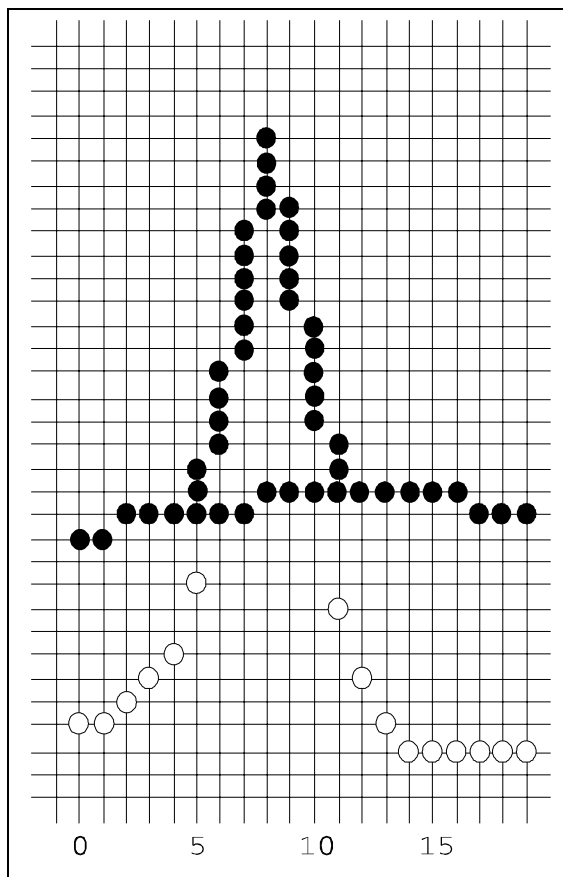


Figura 3.5

putem întotdeauna să trasăm un segment de la $(prec_x, up_hor[prec_x])$ la $(curr_x, up_hor[curr_x])$. Aplicăm această regulă și pentru porțiunea curbei cuprinsă între $curr_x=0$ și $curr_x=5$. Aceasta va redesena orizontul superior. Rezultatele aplicării acestei metode este prezentat în Figura 3.5.

Generalizând pentru ambele orizonturi, rezultă un algoritm simplu. Iată acțiunea pentru un pas:

Fie $prec_x$ și $curr_x$ poziția orizontală precedentă, respectiv curentă;
fie $curr_y$ valoarea funcției în $curr_x$;

pentru orizontul superior:
 $up_hor[curr_x] = \max(up_hor[curr_x], curr_y);$
 trasează linie între $(prec_x, up_hor[prec_x])$ și
 $(curr_x, up_hor[curr_x]);$

pentru orizontul inferior:
 $lo_hor[curr_x] = \min(lo_hor[curr_x], curr_y);$
 trasează segment între $(prec_x, lo_hor[prec_x])$ și
 $(curr_x, lo_hor[curr_x]).$

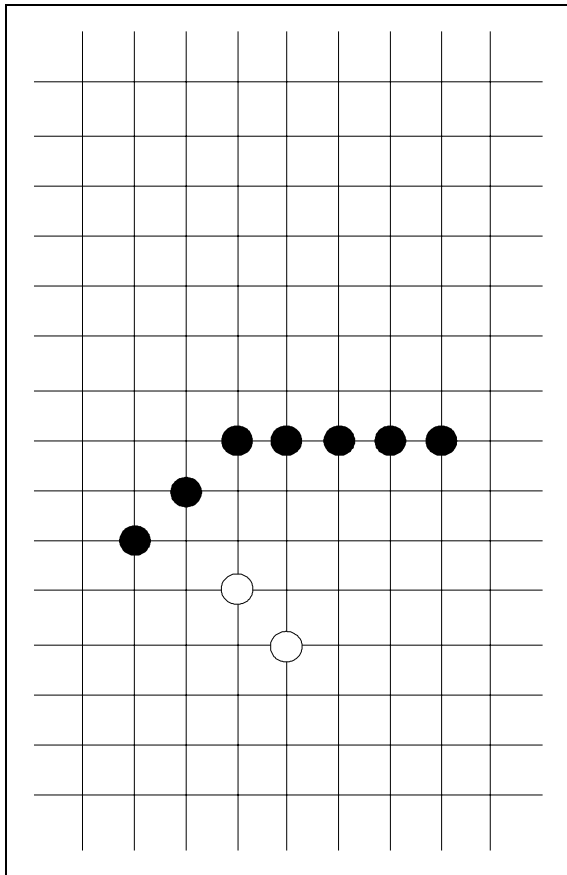


Figura 3.6
 $prec_y < up_hor[prec_x];$
 $curr_y < up_hor[curr_x].$

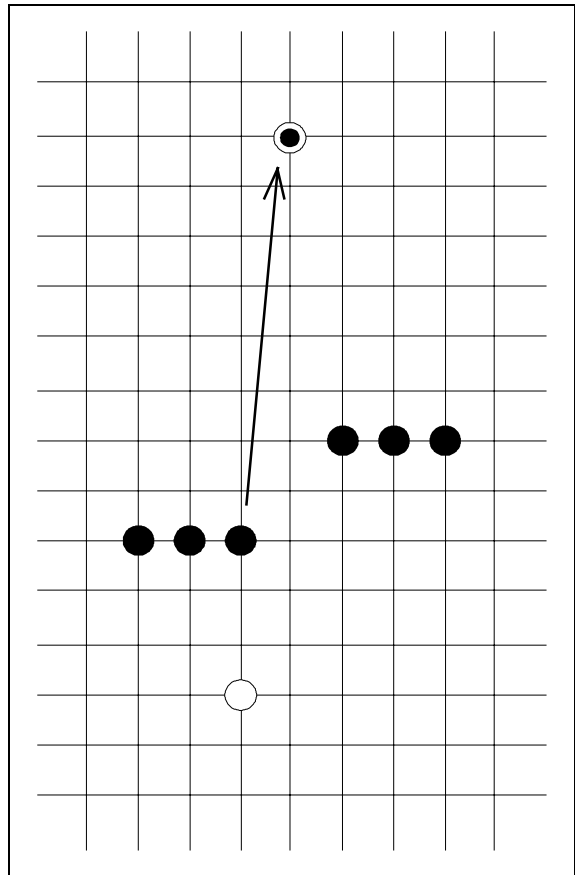


Figura 3.7
 $prec_y < up_hor[prec_x];$
 $curr_y = up_hor[curr_x].$

Repetând aceasta pentru valori succesive pentru x , ne rezultă o curbă. Trasând toate curbele

pentru valori succesive ale lui z , se afișează suprafața, dar cu marcarea pe o direcție.

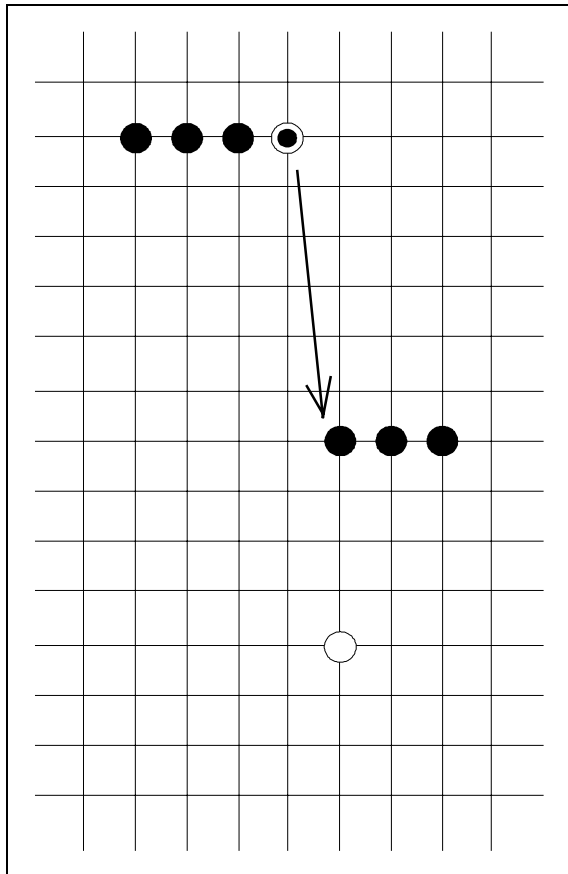


Figura 3.8

$prec_y = up_hor[prec_x];$
 $curr_y < up_hor[curr_x].$

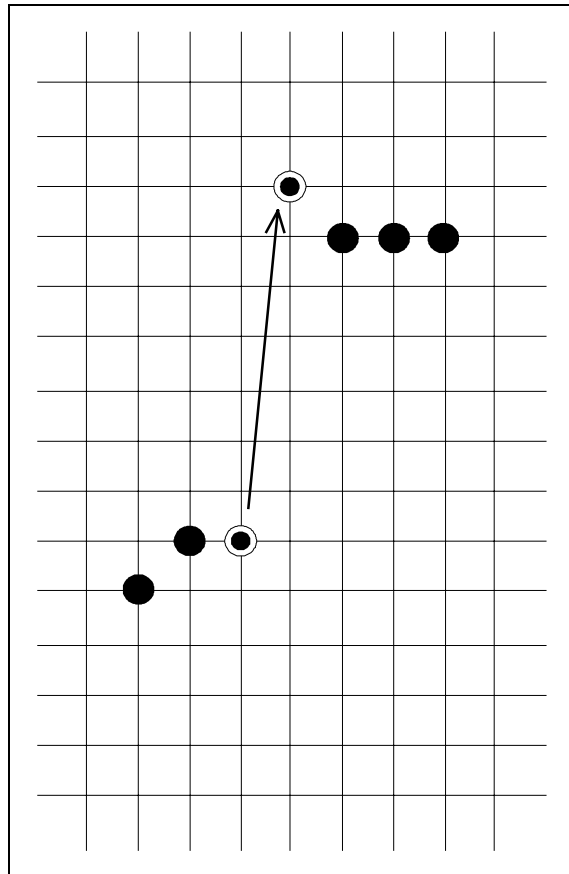


Figura 3.9

$prec_y = up_hor[prec_x];$
 $curr_y = up_hor[curr_x].$

Această formă simplă a algoritmului este ușor de programat și produce o afișare corectă a suprafeței. Are dezavantajul că redesenează ambele orizonturi la fiecare pas, fie că se modifică, fie că nu. Acest lucru ar putea fi eliminat.

Pentru aceasta, ar trebui memorat nu numai $prec_x$, dar și $prec_y$, valoarea precedentă a lui $curr_y$. După actualizarea orizonturilor, comparăm $prec_y$ cu $up_hor[prec_x]$ și $curr_y$ cu $up_hor[curr_x]$. În mod sigur nu trebuie să trasăm o linie dacă $prec_y$ și $curr_y$ se află sub orizontul superior: $prec_y < up_hor[prec_x]$ și $curr_x < up_hor[curr_x]$. În toate celelalte cazuri trebuie efectuată trasarea. În Figurile 3.6..3.9 sunt prezentate cele patru cazuri posibile pentru orizontul superior. Direcția de trasare este de la stânga la dreapta. Orizontul este indicat prin puncte negre, valorile $prec_y$ și $curr_y$ - prin puncte albe. De reținut că orizontul se actualizează *înaintea* testului.

Algoritmul îmbunătățit este:

Fie $prec_x$ și $curr_x$, pozițiile orizontale precedentă, respectiv curentă; fie $prec_y$ și $curr_y$ valorile precedentă, respectiv curentă ale funcției;

orizontul superior:

```
up_hor[curr_x] := max(up_hor[curr_x], curr_y);
```

dacă $prec_y = up_hor[prec_x]$ sau $curr_y = up_hor[curr_x]$, atunci trasează segment între $(prec_x, up_hor[prec_x])$ și $(curr_x, up_hor[curr_x])$;

orizontul inferior:

$lo_hor[curr_x] := \min(lo_hor[curr_x], curr_y)$; dacă $prec_y = lo_hor[prec_x]$ sau $curr_y = lo_hor[curr_x]$ atunci trasează segment între $(prec_x, lo_hor[prec_x])$ și $(curr_x, lo_hor[curr_x])$.

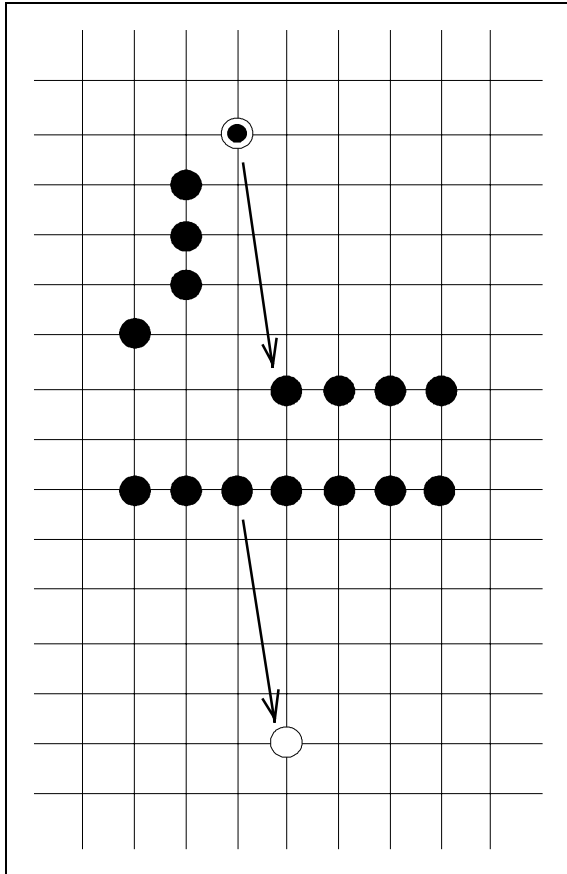


Figura 3.10

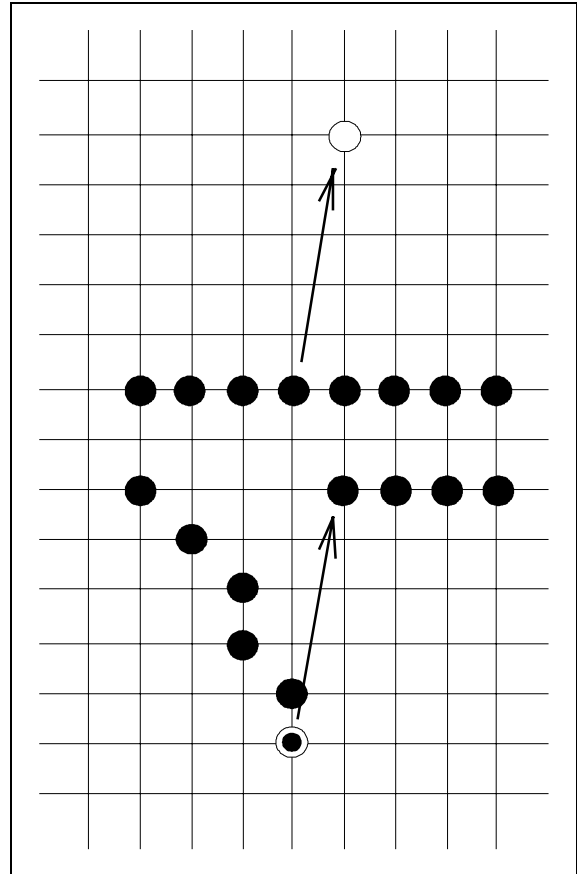


Figura 3.11

Trebuie efectuat testul pentru ambele orizonturi întrucât sunt cazuri în care trebuie trasate două segmente: dacă o curbă este atât de abruptă încât trece de deasupra orizontului superior, până sub orizontul inferior sau viceversa la un singur pas (vezi Figura 3.10, 3.11). Utilizând teste mai laborioase, am putea elimina mai multe situații în care nu trebuie efectuată trasarea.

De obicei, suprafața este afișată în poziție înclinată. Aceasta se obține prin efectuarea de rotații în spațiu asupra fiecărui triplet calculat $(x, f(x, y), z)$ al suprafeței. Se execută o rotație în sens antiorar în jurul lui Oy , urmată de o rotație în sens antiorar în jurul lui Ox . Punctul rotit este apoi proiectat ortografic - se ignoră z - și se utilizează aceste puncte în cadrul algoritmului orizontului flotant. Autorul a testat algoritmul pentru funcția

$$f(x, z) = 18 \cdot \sin^9(.35 * (x^2 + z^2)) * \exp(-x^2 - z^2) + \sin(x + .3) * \cos(z - .3)$$

în domeniul $[-\pi, \pi] \times [-\pi, \pi]$. Funcția a fost evaluată de-a lungul a 41 de linii $z = \text{constant}$ și pe

fiecare linie pe 380 de valori echidistante pentru x . După fiecare evaluare, tripletul $(x, f(x, z), z)$ a fost rotit în spațiu, mai întâi anterior în jurul lui Oy cu 29° , apoi cu 40° anterior în jurul lui Ox .

Descriere în pseudocod Se presupune că funcția este definită pe domeniul $[0,1] \times [0,1]$.

$f(x, z)$ este valoarea funcției în (x, z) .
 num_crv este numărul de curbe de afișat-1.
 num_pix este numărul de pixeli pe orizontală.
 hight este factorul de scalare pentru înălțimea curbelor pe ecran.
 up_hor și lo_hor sunt tablouri întregi de dimensiune suficientă.

```

for z:=0 to 1 step 1/num_crv do begin
  for x:=0 to 1 step 1/num_pix do begin
    calculează  $y=f(x, z)$ ;
    rotește  $(x, y, z)$  în jurul lui  $y$ ,
    apoi în jurul lui  $x$ ; rezultă  $(x_r, y_r, z_r)$ ;

    prec_x := curr_x;
    prec_y := curr_y;
    curr_x:=  $x_r$ *width;
    curr_y:=  $y_r$ *hight;
    if up_hor[curr_x] nu a fost inițializat then
    begin
      up_hor[curr_x] := curr_y;
      lo_hor[curr_x] := curr_y;
    end
    else begin
      up_hor[curr_x] := max(up_hor[curr_x], curr_y);
      lo_hor[curr_x] := min(lo_hor[curr_x], curr_y);
    end;

    { codul de mai jos nu se execută pentru
      primul punct al curbei }
    if x > 0 then begin
      if prec_y = up_hor[prec_x] or
        curr_y = up_hor[curr_x] then begin
        move(prec_x, up_hor[prec_x]);
        draw(curr_x, up_hor[curr_x])
      end;
      if prec_y = lo_hor[prec_x] or
        curr_y = lo_hor[curr_x] then begin
        move(prec_x, lo_hor[prec_x]);
        draw(curr_x, lo_hor[curr_x])
      end
    end
  end { for x }
end { for z };
  
```

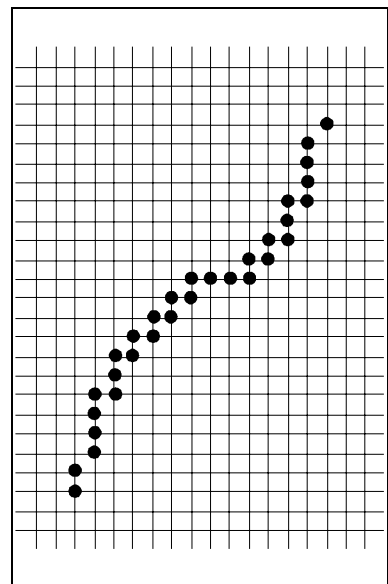


Figura 3.12

O problemă despre care încă nu s-a discutat și nu a fost rezolvată în codul de mai sus este posibilitatea îngroșării unei linii când funcția suprafeței de-a lungul unei curbe este supraîncărcată (aliasing). Vom prezenta un exemplu.

Presupunem că întinderea maximă pe orizontală pe ecran a unei curbe $z=\text{constant}$, width, este de 300 de pixeli. Aceasta este lățimea înainte ca

suprafața să fie rotită în jurul lui y . În acest caz vom calcula valoarea funcției în 300 de locații echidistante pe x , pentru a avea o valoare pe pixel.

După rotația cu 60° în jurul lui Oy , curba se va extinde pe $300 \cdot \cos(60^\circ) = 150$ pixeli pe orizontală. Calculând pentru 300 de locații pe Ox , ne rezultă două valori pentru un pixel pe orizontală. Atunci când rotația este mai mare de 45° , rezultă o linie îngroșată, întrucât se setează de două ori mai mulți pixeli decât este necesar. De aceea, pentru a avea o singură valoare la un pas pe orizontală trebuie redus numărul de locații la $\text{width} \cdot \cos(\varphi)$, cu $\varphi =$ unghiul de rotație în jurul lui Oy . Rotația în jurul lui Ox nu influențează aspectul liniei.

2.2 Reprezentarea Completă

Mai sus am afișat funcția suprafață prin trasarea curbelor intersecției ale lui $f(x,z)$ cu plane $z=\text{constant}$. Dorim să dezvoltăm în continuare algoritmul, ca să se traseze și curbele intersecției ale lui $f(x,z)$ cu plane $x=\text{constant}$. Adăugarea celui de-al doilea set de curbe nu este însă o sarcină simplă.

S-ar părea că este suficient să trasăm cele două seturi de curbe una peste alta, dar aceasta nu elimină liniile ascunse. În Figura 3.13 și Figura 3.14 sunt prezentate două seturi individuale de curbe. Figura 3.15 prezintă suprapunerea lor, iar în Figura 3.16 avem afișarea corectă.

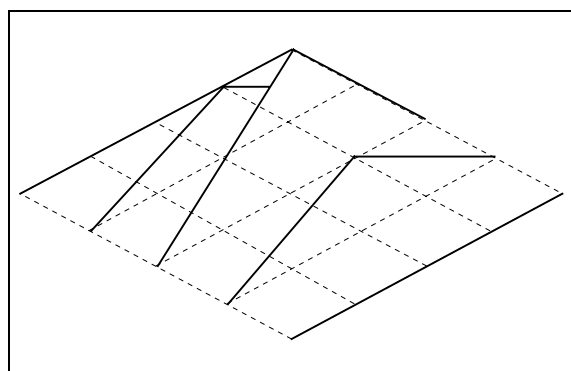


Figura 3.13 Curbe $z=\text{constant}$

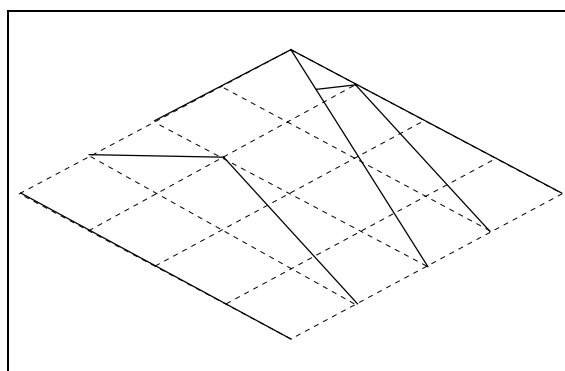


Figura 3.14 Curbe $x=\text{constant}$

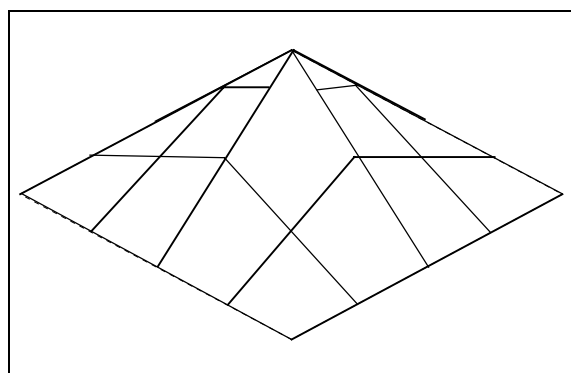


Figura 3.15 Suprapunere

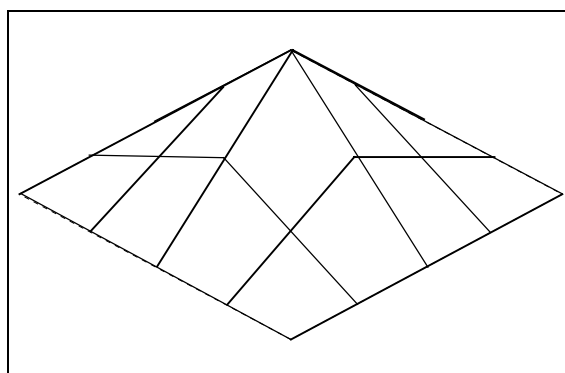


Figura 3.16 Afișarea corectă

Rezultatul corect se obține trasând cele două seturi de curbe alternativ, utilizând acele orizonturi, inferior și superior pentru amândouă. Ambele seturi trebuie trasate în ordinea valorii crescătoare a lui z . O modalitate ar fi să trasăm mai întâi o curbă $z=\text{constant}$ și apoi să trasăm

toate porțiunile curbelor $x=\text{constant}$ dintre prima și următoarea curbă $z=\text{constant}$. După aceasta, trasăm următoarea curbă $z=\text{constant}$. În Figura 3.17 este prezentată ordinea și direcția în care se desenează curbele și segmentele de curbă. O altă posibilitate este să trasăm o curbă $x=\text{constant}$, apoi porțiuni de curbe $z=\text{constant}$, ca în Figura 3.18.

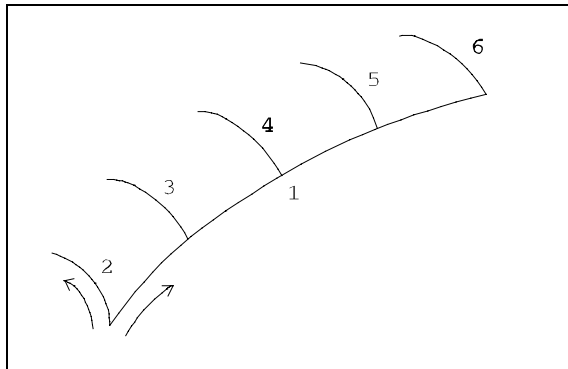


Figura 3.17

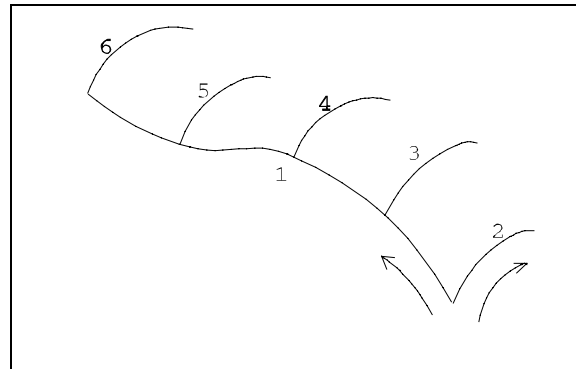


Figura 3.18

Acest procedeu ridică o serie de probleme. Una ar fi supraîncărcarea descrisă mai sus. Acum o vom trata mai în detaliu.

Indiferent de unghiul φ cu care se face rotația în jurul lui y , fie curbele $z=\text{constant}$, fie curbele $x=\text{constant}$ vor rezulta supraîncărcate dacă nu reducem numărul de eșantioane. Numărul de pixeli pe orizontală va fi $\text{width} \cdot \cos(\varphi)$ pentru curbele $z=\text{constant}$ și $\text{width} \cdot \sin(\varphi)$ pentru curbele $x=\text{constant}$. Însă nu putem utiliza direct aceste valori ca număr de eșantioane pe direcțiile respective. Pentru un φ foarte mic, de exemplu 2° și $\text{width}=300$, vom avea doar 11 eșantioane pentru curbele $x=\text{constant}$, iar pentru $\varphi=0$ rezultă 0 eșantioane.

Nu vom permite ca acest număr să devină prea mic. Atunci când avem o extindere mică pe orizontală, curba va fi abruptă. Chiar dacă utilizăm un număr mare de eșantioane, curba va avea aspectul corect, deoarece, chiar și pentru un unghi de peste 45° , supraîncărcarea nu va îngroșa linia.

Pe de altă parte, presupunem din nou că avem un unghi de rotație, φ , mic, de exemplu 2° , ca mai sus. Dacă reprezentăm cu câte 25 de curbe pe fiecare direcție, vom eșantiona suprafața în 25 de direcții echidistante pe z în domeniul de definiție, când trasăm curbe $z=\text{constant}$. Curbele $x=\text{constant}$ trebuie trasate în câte 25 de segmente separate. Aceasta implică faptul că trebuie să eșantionăm funcția cel puțin în acele valori z care au fost utilizate pentru curbele $z=\text{constant}$. În exemplul nostru vom utiliza 25 de valori z echidistante atunci când trasăm curbele $x=\text{constant}$, câte una pentru fiecare segment de curbă. Deși aceasta face ca un segment de curbă să arate ca o dreaptă, nu este necesară o eșantionare mai densă, întrucât nu avem nici măcar o jumătate de pixel pe orizontală. Chiar și cu o eșantionare mai densă, un segment de curbă va avea aspectul unei drepte.

Dacă avem, de exemplu, 35 de pixeli pe orizontală, vom utiliza 50 de locații pentru z , ca fiind următorul multiplu de 25. Aceasta va conduce la o supraîncărcare cu 15, dar vom folosi valorile z utilizate pentru curbele $z=\text{constant}$.

Din aceasta rezultă următoarea strategie. Numărul de eșantioane va fi multiplu întreg al numărului de curbe încrucișate și va fi mai mare sau egal cu numărul de pixeli pe orizontală. Dacă aplicăm această regulă pentru ambele seturi de curbe, în mod sigur vom evalua funcția de suprafață, pentru ambele seturi de curbe, în locația unde ele se întâlnesc. Altfel, de exemplu, segmentele $x=\text{constant}$ s-ar putea să nu "atingă" punctul prin care trece

următoarea curbă $z=\text{constant}$.

O altă problemă apare atunci când suprafața este rotită în jurul lui O_y cu un unghi apropiat sau egal cu 90° . Dacă unghiul de rotație este exact 90° , ordinea de trasare din Figura 3.17 va suprima toate curbele $z=\text{constant}$ cu excepția primei curbe. Toate curbele $z=\text{constant}$ vor fi linii verticale. Curbele $x=\text{constant}$ sunt trasate corect. Segmentele $x=\text{constant}$ se întind spre stânga exact până în punctul din care va începe următoarea linie verticală (curba $z=\text{constant}$). Aceste curbe nu vor mai fi trasate.

Pe de altă parte, o astfel de reprezentare nu prea are sens pentru unghiuri de rotație de 0° sau 90° , deoarece unul din seturile de curbe vor degenera în linii verticale, care nu furnizează nici o informație despre forma curbei.

Atunci când unghiul de rotație este apropiat de 0° sau 90° , aspectul curbelor abrupte ar putea lăsa de dorit. Problema se rezolvă simplu schimbând ordinea în care se trasează curbele și segmentele de curbă. În general, putem spune că ordinea de trasare din Figura 3.17 va afișa corect pentru unghiuri de rotație începând cu 0° , dar nu și aproape de 90° , iar cea din Figura 3.18 - pentru unghiuri de la 90° în jos, dar nu în apropiere de 0° . Un algoritm general de trasare va schimba ordinea de trasare la 45° . Totuși, trebuie să evităm rotația suprafeței în jurul lui O_y cu unghiuri negative sau peste 90° .

Descriere în Pseudocod Algoritmul este descris în parte în pseudocod, pentru a elimina amănunțele neesențiale. Toți termenii și identificatorii corespund celor din algoritmul precedent. În plus, se calculează numărul de eșantioane conform unghiurilor de rotație și a numărului de curbe de trasat, step_x și step_z . step_x este cel mai mic număr multiplu al numărului de curbe, mai mare decât $\text{width} \cdot \cos(\varphi)$, iar step_z este analog pentru $\text{width} \cdot \sin(\varphi)$. Rotația unui punct calculat, actualizarea orizonturilor și trasarea unui segment până în acel punct reprezintă o porțiune de cod necesară de două ori în forme aproape identice, astfel încât le vom plasa în procedura `rotate_update_draw`.

```
procedure rotate_update_draw(x, y, z : real);  
begin  
  rotește (x,y,z) în jurul lui  $O_y$   
  apoi în jurul lui  $O_x$ ,  
  rezultă (xr,yr,zr);  
  
  prec_x := curr_x;  
  prec_y := curr_y;  
  curr_x := xr*width;  
  curr_y := yr*height;  
  if up_hor[curr_x] nu este inițializat then begin  
    up_hor[curr_x] := curr_y;  
    lo_hor[curr_x] := curr_y  
  end  
  else begin  
    up_hor[curr_x] := max(up_hor[curr_x], curr_y);  
    lo_hor[curr_x] := min(lo_hor[curr_x], curr_y);  
  end;  
  if x > 0 then begin  
    if prec_y = up_hor[prec_x] or  
      curr_y = up_hor[curr_x] then begin  
      move(prec_x, up_hor[prec_x]);  
      draw(curr_x, up_hor[curr_x])  
    end;  
    if prec_y = lo_hor[prec_x] or
```

```

        curr_y = lo_hor[curr_x] then begin
            move(prec_x, lo_hor[prec_x]);
            draw(curr_x, lo_hor[curr_x])
        end
    end
end {procedure rotate_update_draw};

begin
    stepx := trunc((round(width*cos(angy)) - 0.5) /
        num_crv) * num_crv + num_crv;
    stepz := trunc((round(width*sin(angy)) - 0.5) /
        num_crv) * num_crv + num_crv;

    for z:=0 to 1 step 1/num_crv do begin
        {trasează o curbă z=constant}
        for x:=0 to 1 step 1/stepx do
            rotate_update_draw(x, f(x, z), z);
        if z < 1 then
            {trasează num_crv segmente x=constant}
            for x:=0 to 1 step 1/num_crv do
                for zh:=z to z+1/num_crv step 1/stepz do
                    rotate_update_draw(x, f(x, zh), zh)
                end {for z}
            end {for x}
        end {for z}
    end.

```

3 Suprafețe Definite pe o Grilă

Această secțiune prezintă încă un caz special al unui obiect 3D, o suprafață grilă. O *suprafață grilă* este o suprafață care interpolatează valori definite numai în nodurile unei rețele rectangulare. Asemenea suprafețe sunt utilizate la afișarea unei funcții de două variabile, de exemplu

$$y = f(x, z)$$

Valoarea funcției pentru punctul (x, z) este văzută ca înălțimea deasupra planului (x, z) . Mulțimea tuturor valorilor funcției dintr-o zonă a planului (x, z) în care funcția este definită formează o suprafață în spațiu. Pentru afișarea realistă a unei asemenea suprafețe este necesară o reprezentare tridimensională. Un bun exemplu sunt suprafețele descrise în secțiunea precedentă, dar modelarea ar presupune calculul unui număr mare de valori și deci ar fi prea costisitoare și ar consuma prea mult timp.

Pentru simplificare vom calcula valorile funcției numai într-un număr mai mic de puncte care formează o grilă în planul (x, z) și apoi vom conecta punctele învecinate prin segmente de dreaptă. Va rezulta o suprafață grilă. De fapt, interpolăm liniar punctele calculate. Apoi se proiectează această suprafață grilă pe un mediu bidimensional (o foaie de hârtie sau ecranul). Dorim să obținem astfel, cât mai simplu, rapid și "ieftin", o imagine cât mai realistă.

Pentru a accentua aparența de tridimensionalitate, trebuie îndepărtate liniile ascunse. Pe un display raster, am putea să utilizăm algoritmul pictorului, pentru o pseudo-îndepărtare a liniilor ascunse, dar dorim să vedem cum se poate realiza aceasta în acest caz particular,

Întrucât proprietățile geometrice ale suprafețelor grilă duc la o îndepărtare mai simplă decât în cazul general a liniilor ascunse.

Figura 3.19 prezintă o suprafață grilă tipică. Unele fațete sunt parțial sau total ascunse. Nu ne este greu să desenăm de mână o asemenea suprafață, însă calculatorul trebuie să determine dacă o fațetă este ascunsă. Pentru aceasta, descompunem suprafața grilă. Ea este formată din suma tuturor fațetelor, definite pe o rețea rectangulară care nu este în mod necesar uniform spațiată. Fiecare fațetă reprezintă partea superioară a unei prisme cu baza un dreptunghi din planul (x,z) . Desigur, în cazul general, fațetele suprafeței grilă pot să se extindă și dedesubtul planului (x,z) , dar vom porni cu cazul mai simplu în care valorile funcției $f(x,z)$ sunt toate pozitive. Ne va fi mai ușor de vizualizat și nu se pierde din generalitate.

Figura 3.20 prezintă două prisme, izolate, de pe marginea dinspre noi a suprafeței. În general, fațetele nu sunt dreptunghiuri plane, așa cum se vede în desen. Vom trece în revistă condițiile în care o fațetă poate să acopere o altă fațetă.

Aceasta depinde de punctul din spațiu din care este privită suprafața. Vom porni cu cazul general în care punctul de observație este un punct variabil, deasupra suprafeței, și cu coordonatele x și z în interiorul zonei dreptunghiulare de definiție.

În Figura 3.21 este prezentat ce vedem când privim cele două prisme dintr-un punct situat exact deasupra unui punct dintre cele două prisme. Punctele marchează punctele grilei din planul (x,z) , iar liniile ascunse sunt reprezentate prin linii întrerupte. Dacă prelungim muchiile verticale ale prismelor, ele converg într-un singur punct, *punctul de fugă*, VZ. De reținut însă că fațetele superioare ale prismelor pot fi înclinate și non-planare.

Înainte de construirea suprafeței grilă, trebuie să o definim precis în spațiul 3D. Presupunem că x_0, \dots, x_n și z_0, \dots, z_m sunt șiruri strict crescătoare de numere reale, nu neapărat la distanțe egale. Vom nota cu i indicii pentru x și cu j indicii pentru z . Punctele din planul (x,z) cu coordonatele (x_i, z_j) se numesc *punctele grilei*. Planele verticale față de planul (x,z) , care îl intersectează după dreptele $x=x_i$ sau $z=z_j$ se numesc *planele grilei*. Dreptunghiul cu laturile $x=x_i, x=x_{i+1}, z=z_j, z=z_{j+1}$ este *elementul (i,j) al grilei*. Avem $n \cdot m$ elemente de grilă.

În general, funcția de afișat este definită în toate punctele planului (x,z) . Valoarea funcției în punctul (x_i, z_j) este $y_{i,j}$. Pentru afișarea funcției, determinăm valorile $y_{i,j}$, le conectăm prin segmente de dreaptă pe cele corespunzătoare la două puncte ale grilei, învecinate pe orizontală, și similar pentru punctele grilei pe verticală. În acest fel ne rezultă o grilă în spațiul 3D. Ea este o aproximare a funcției în punctele grilei. De exemplu, dacă $y_{i,j}, y_{i,j+1}, y_{i+1,j}$ și $y_{i+1,j+1}$ sunt valorile funcției în cele patru puncte ale grilei care definesc elementul (i,j) ,

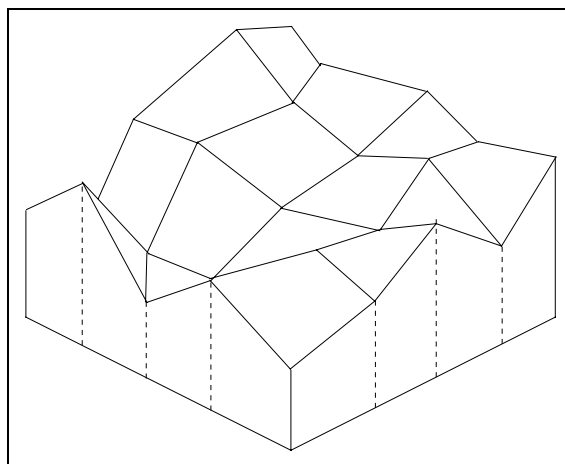


Figura 3.19 O suprafață grilă.

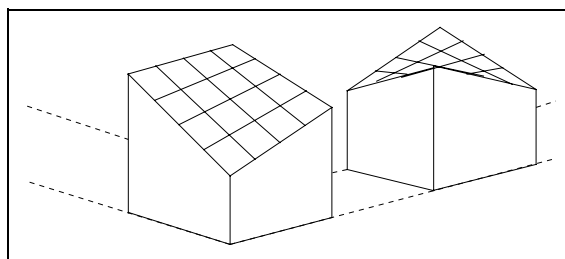


Figura 3.20 Două prisme ale suprafeței grilă.

atunci

$$\alpha \beta y_{i,j} + (1-\alpha) \beta y_{i,j+1} + \alpha (1-\beta) y_{i+1,j} + (1-\alpha) (1-\beta) y_{i+1,j+1}, 0 \leq (\alpha, \beta) \leq 1$$

este valoarea suprafeței grilă în orice punct din element (*fațeta* (i,j)).

Vom proiecta laturile fațetei și vom presupune că aceasta este chiar proiecția fațetei. Acest lucru nu este întotdeauna corect, întrucât există situații în care proiecția unei fațete nu este mărginită de proiecțiile laturilor sale. Facem însă această presupunere, pentru a simplifica algoritmul. În fond, fațetele sunt doar o aproximare a valorii reale a funcției. Vom obține însă o imagine suficient de bună a suprafeței grilă.

În vederea unei afișări realiste, trebuie să efectuăm o proiecție perspectivă. Punctul de observație are coordonatele (PO_x, PO_y, PO_z) , iar direcția de observație este definită de vectorul (DO_x, DO_y, DO_z) . Planul de vedere este întotdeauna normal la direcția de observație. Dacă $x_0 \leq PO_x \leq x_n$ și $z_0 \leq PO_z \leq z_m$, spunem că privim suprafața grilă *din față* (de sus). Imaginea pe care o vedem corespunde celei din Figura 3.22.

Dacă numai una dintre aceste condiții este îndeplinită, vedem suprafața grilă *din lateral*; dacă nici una dintre condiții nu este satisfăcută, atunci o privim *din colț*, ca în Figura 3.23. În toate aceste cazuri presupunem că $PO_y > 0$, adică punctul de observație se află deasupra planului (x,z) . (Pentru generalitate, trebuie să putem avea și $PO_y < 0$). Este esențial ca $PO_y \neq 0$.

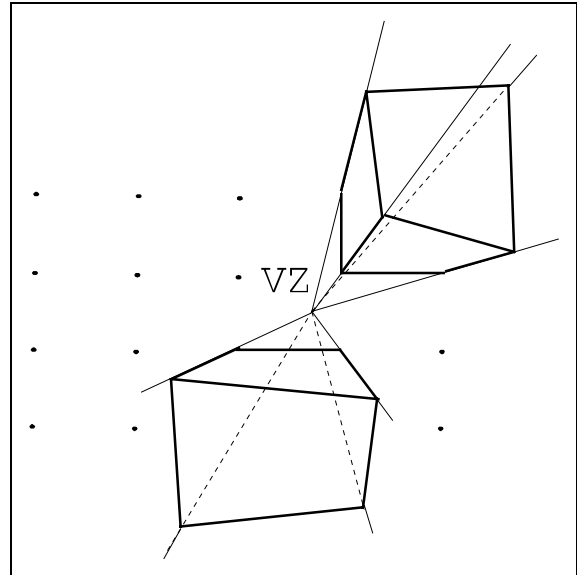


Figura 3.21 Vedere de sus a celor două prisme.

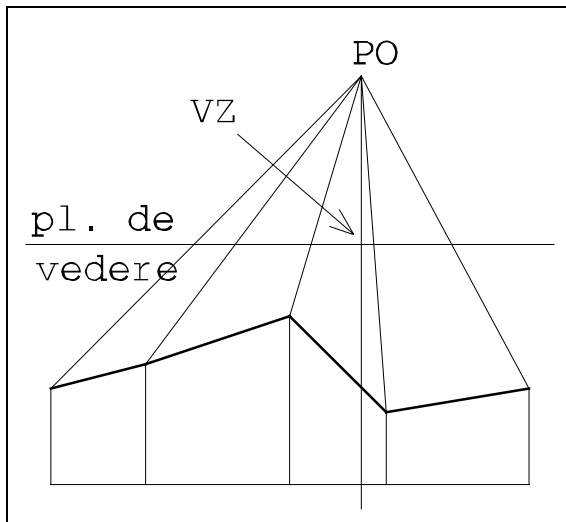


Figura 3.22 Vedere din față.

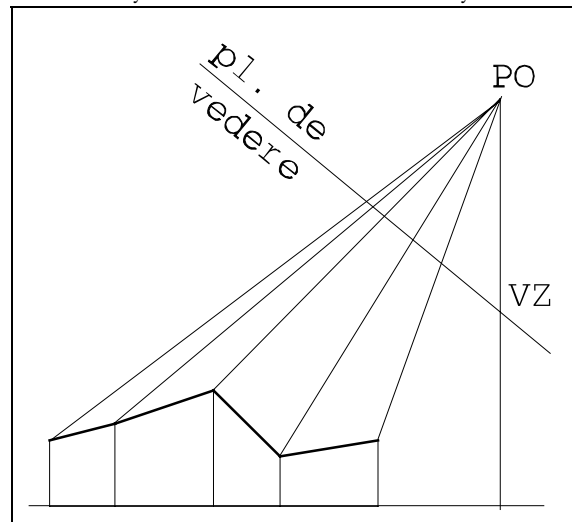


Figura 3.23 Vedere din lateral sau din colț.

A privi dintr-un asemenea punct înseamnă a proiecta suprafața grilă pe planul de vedere (normal la direcția de observație). Această proiecție o transformă într-o imagine 2D. În planul de vedere, vom considera coordonatele x înspre dreapta, iar coordonatele y în sus.

În Figura 3.22 și în Figura 3.23, planul de vedere este ecranul. Ochiul observatorului se află în PO - centrul proiecției.

La vederea din față, datorită proiecției perspective, proiecțiile muchiilor verticale ale prismelor converg toate într-un singur punct din planul de vedere, VZ, care este punctul în care o dreaptă paralelă cu axa y , dusă prin punctul de observație, intersectează planul de vedere, ca în Figura 3.22.

Și la vederea din lateral sau din colț, din nou toate proiecțiile muchiilor verticale converg într-un singur punct, având aceeași poziție ca mai sus, dar în acest caz este situat înafara proiecției suprafeței grilă, ca în Figura 3.23.

Ordinea de Acoperire Când trasăm proiecția suprafeței grilă, vom trasa numai laturile fațetelor, și numai acelea care nu sunt acoperite de către o altă fațetă. Pentru aceasta, vom desena fațetele pe rând, într-o *ordine de acoperire*, adică, o fațetă care poate fi acoperită de altă fațetă este desenată numai după aceea fațetă. O proprietate importantă a suprafețelor grilă este aceea că, oricare ar fi modul în care sunt privite, întotdeauna există o singură ordine de acoperire în care se pot aranja fațetele. Aceasta este o consecință a modului regulat în care sunt amplasate elementele grilei.

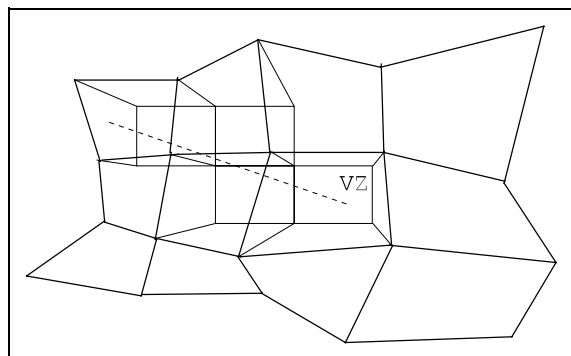


Figura 3.24 Raza de vedere, vedere de sus.

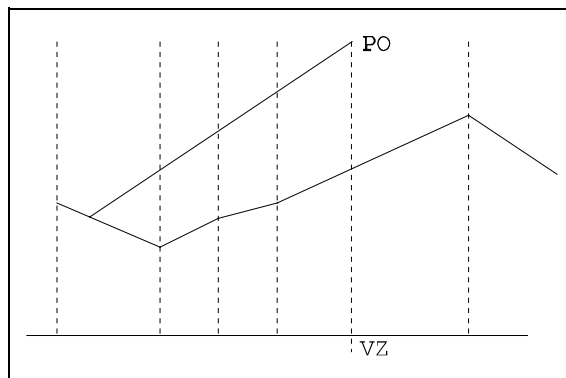


Figura 3.25 Raza de vedere, vedere în secțiune.

Pentru a explica modul în care se determină ordinea de acoperire, să ne întoarcem la suprafața grilă originală din spațiul 3D și să ne imaginăm că ne aflăm în punctul de observație, deasupra ei, și că privim către un punct al unei fațete. Raza după care privim este indicată în Figura 3.24. Acum să ne imaginăm că prismele se prelungesc în sus la infinit, astfel încât această rază trebuie să traverseze prismele situate între noi și punctul către care privim. În cazul nostru, ea traversează trei prisme înainte să ajungă în punctul de destinație. Acest lucru se vede mai bine în Figura 3.25.

Planul secțiunii din Figura 3.25 este vertical față de planul (x,z) și conține raza de vedere. Acesta intersectează planele grilei și, probabil, fațete. Liniile verticale din figură sunt extensii ale planelor grilei. Ele ne arată locul în care raza de vedere traversează o prismă. Oricare dintre prismele întâlnite de raza de vedere ar putea acoperi vederii punctul către care privim, dacă acea fațetă este suficient de înaltă.

În imaginea proiectată, punctul de fugă VZ joacă rolul punctului de observație, iar o rază de vedere este orice rază care pornește din VZ. Dacă trasăm o rază din VZ către oricare dintre fațetele din imaginea proiectată, această rază va traversa proiecțiile câtorva baze de prisme înainte să ajungă la fațeta destinație. Aceasta înseamnă că, în spațiul 3D, această rază va traversa prismele corespunzătoare înainte să ajungă la prisma destinație. Într-o ordine de acoperire, fațetele acestor prisme trebuie să fie înaintea fațetei prisme destinație. Problema care se pune este dacă este sau nu posibil să aranjăm toate fațetele suprafeței grilă într-o astfel de ordine încât prismele traversate de orice rază pornind din punctul de fugă să fie în ordinea corectă.

Desigur, această ordine va depinde de poziția punctului VZ. Însă oricare ar fi VZ, un asemenea aranjament este ușor de găsit pentru suprafețe grilă și acest lucru stă la baza acestui algoritm de îndepărtare a liniilor ascunse. Pentru anumite poziții ale lui VZ, sunt posibile mai multe ordonări de acoperire.

Pentru dezvoltarea algoritmului, setăm:

$$\begin{aligned}x_{-1} &= z_{-1} = -\infty, \\x_{n+1} &= z_{m+1} = \infty\end{aligned}$$

Fie K și L astfel încât $x_{K-1} \leq VZ_x \leq x_K$ și $z_{L-1} \leq VZ_z \leq z_L$, și mai definim:

$$\begin{aligned}K1 &= \max(K, 1) & KN &= \min(K-1, n) \\L1 &= \max(L, 1) & LM &= \min(L-1, m)\end{aligned}$$

Atunci o ordine de acoperire este generată de următoarele cicluri (în Pascal):

```
for i := K1 to n do
  for j := L1 to m do
    fațetă(i, j);
for i := KN downto 1 do
  for j := L1 to m do
    fațetă(i, j);
for i := K1 to n do
  for j := LM downto 1 do
    fațetă(i, j);
for i := KN downto 1 do
  for j := LM downto 1 do
    fațetă(i, j);
```

9	8	7	18	i = 5
6	5	4	17	
3	2	1	VZ	16
12	11	10	19	
15	14	13	20	i = 1
j = 4			j = 1	

Figura 3.26

Pentru anumite poziții ale lui VZ, unele dintre ciclurile de mai sus sunt vide. Figurile care urmează indică poziția lui VZ și ordinea de acoperire prin enumerarea elementelor de grilă proiectate. Proiectarea grilei pe planul de vedere ar putea s-o rotească în orice direcție, de aceea se indică și domeniile pentru i și j.

În Figura 3.26 se vede ordonarea fațetelor într-o vedere din față. Formulele dau:

observator ale fațetelor mai apropiate (vezi Figura 3.30).

- c. La vederea din colț, perimetrul se inițializează cu laturile dinspre observator ale fațetelor frontale pe direcțiile x și z.

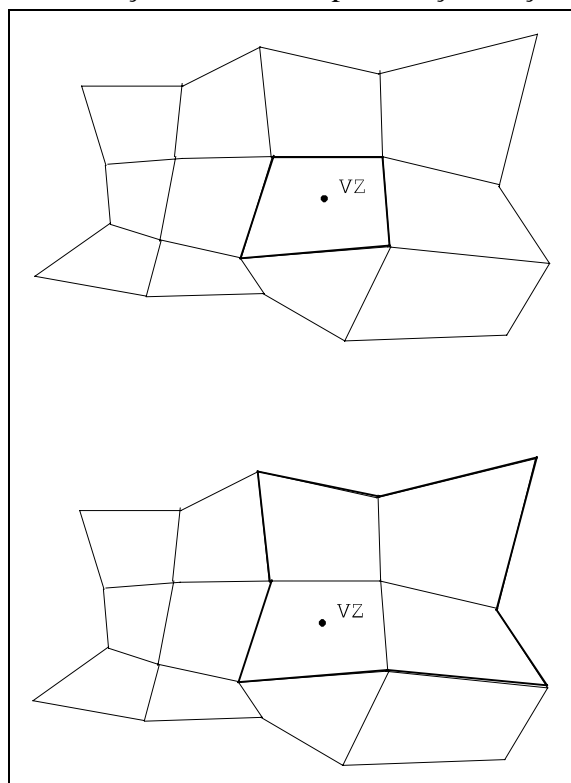


Figura 3.29 Generarea perimetrului la vederea din față.

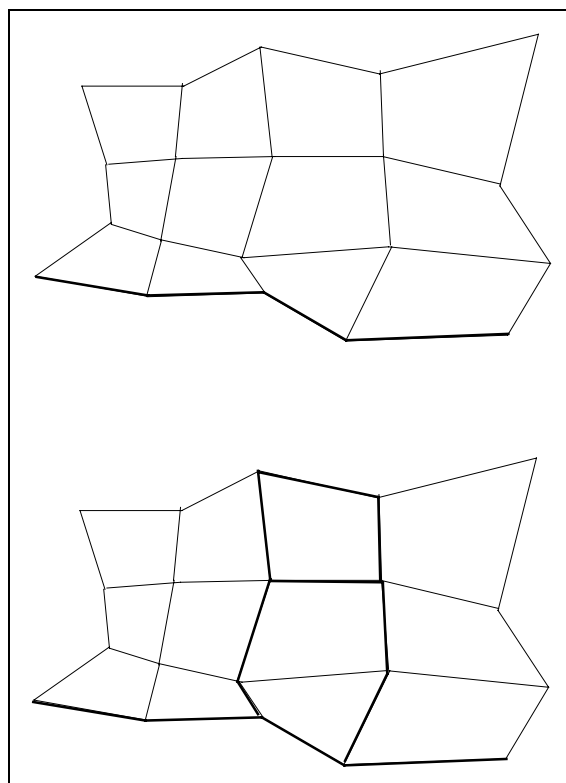


Figura 3.30 Generarea perimetrului la vederea din lateral.

Dacă $PO_y \neq 0$, după cum am presupus, imaginile trasate vor avea două proprietăți importante: ele sunt întotdeauna coerente și ele sunt *stea-convexe* în jurul lui VZ. Ultima proprietate înseamnă că dacă două puncte ale imaginii sunt situate pe o rază din VZ, atunci toate punctele de pe rază dintre cele două puncte aparțin de asemenea imaginii. Convexitatea în stea este o consecință directă a ordinii de acoperire în care se face trasarea.

Există însă o altă poziție posibilă a punctului de observație, o versiune a vederii din lateral sau din colț, numită *vedere orizontală*. Vederea este orizontală atunci când PO_x sau PO_z sau amândouă sunt înafara grilei, iar $PO_y = 0$ iar direcția de observație DO este în planul (x,z). Direcția "în sus" a imaginii în planul de vedere este identică cu coordonata y din sistemul de coordonate al suprafeței grilă. În acest caz nu există VZ (este la distanță infinită) și imaginea nu este stea-convexă. Noțiunea de "stea-convexitate" trebuie înlocuită cu ceva care s-ar putea numi "paralel-convexitate" față de verticală, adică dacă două puncte ale imaginii sunt pe o linie verticală, atunci toate punctele de pe linie situate între ele aparțin de asemenea imaginii. Ordinea de acoperire este fie cea pentru vederea din lateral, fie cea pentru vederea din colț, în funcție de poziția punctului PO.

Forma perimetrului depinde de modul în care este privită suprafața grilă. În figurile care urmează se prezintă perimetrul în două cazuri diferite. Un vertex al perimetrului este determinat în mod unic de unghiul razei din VZ la acel vertex și de distanța față de VZ (datorită stea-convexității). Dacă unghiurile vertex-urilor își schimbă direcția la parcurgerea

vârfurilor consecutive ale perimetrului, atunci aceste vârfuri descriu un contur care nu este stea-convex. Aceasta se numește *monotonia unghiurilor* și se păstrează și după actualizarea perimetrului. Ea are consecințe importante asupra timpului de execuție al algoritmului.

În cazul vederii din față perimetrul arată ca în Figura 3.31. Punctul de fugă VZ este în interiorul imaginii. Dacă se parcurge perimetrul în sens antiorar, atunci unghiurile vertex-urilor vor fi monoton crescătoare. Perimetrul se numește exterior (nu există perimetrul interior).

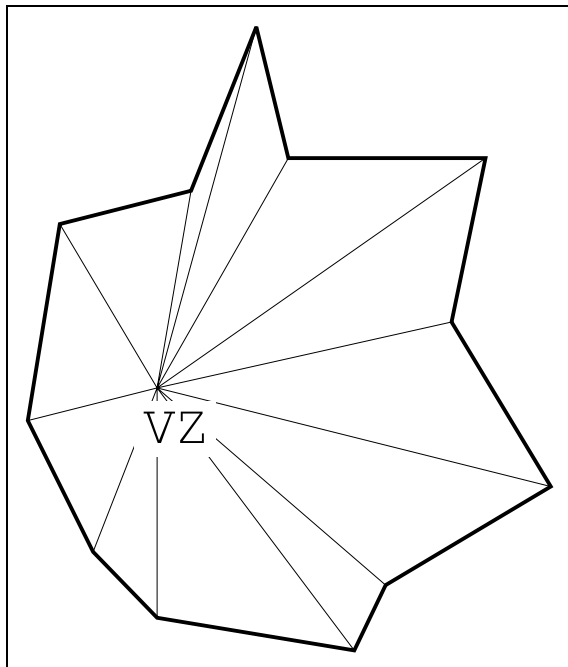


Figura 3.31 Perimetrul din față.

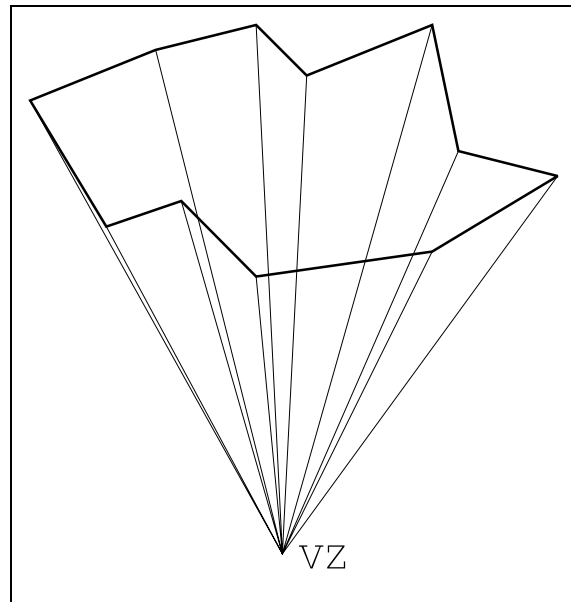


Figura 3.32 Perimetru din lateral.

În cazul vederii din lateral, perimetrul arată ca în Figura 3.32. Punctul VZ este înafara imaginii. Laturile mai apropiate de VZ formează perimetrul interior, iar celelalte - perimetrul exterior. La parcurgerea în sens antiorar a perimetrului, unghiurile corespunzătoare sunt monoton crescătoare pe perimetrul exterior și monoton descrescătoare pentru perimetrul interior. Similar în cazul vederii din colț.

Dacă o suprafață grilă este privită orizontal, proiecțiile muchiilor verticale ale prismelor sunt linii verticale (vezi Figura 3.33). Această vedere este asemănătoare cu vederea din lateral sau din colț întrucât unghiurile în jurul lui VZ din aceste vederi au o valoare minimă și una maximă. Vom înlocui "unghiul în jurul lui VZ" cu "stânga-dreapta" în imaginea vederii orizontale. În acest fel, algoritmi pentru procesarea vederii din lateral sau din colț pot să trateze și acest caz.

În cele ce urmează, "fațetă" înseamnă proiecția unei fațete pe planul de vedere. La actualizarea perimetrului cu o fațetă, se determină unghiurile vertex-urilor fațetei din extremitățile stânga și dreapta (în sens antiorar în jurul lui VZ); le vom numi f_{min} și f_{max} . "Vârfurile perimetrului circumscris" sunt vertex-urile P_{min} , cu $P_{min} \leq f_{min}$ și P_{max} , cu $P_{max} \geq f_{max}$. Toate laturile perimetrului care pot intersecta laturile fațetei se pot determina parcurgând perimetrul în sens antiorar de la P_{min} la P_{max} , ca o consecință a monotonei unghiurilor. În lipsa acestei proprietăți, căutarea laturilor perimetrului care ar putea intersecta laturile fațetei ar fi necesitat parcurgerea întregului perimetru, ceea ce ar fi dus la un timp de

execuție al algoritmului cel puțin de ordinul N_2 .

Înainte de căutarea vârfurilor perimetrului se poate efectua o preprocesare a fațetei. Aceasta reduce numărul de intersecții posibile. Preprocesarea constă în a verifica dacă o fațetă nu este cumva acoperită de acele fațete care sunt în imediata vecinătate a ei și sunt mai apropiate de punctul de observație. Se poate întâmpla ca fațeta să se acopere pe ea însăși, dacă este atât de înclinată față de punctul de observație încât să nu poată fi văzută suprafața ei superioară. În acest caz nu mai este necesar testul față de conturul perimetrului. Dacă numai o parte a fațetei se acoperă pe ea însăși, atunci unul dintre laturile sale nu mai trebuie comparate cu conturul perimetrului. De remarcat însă că algoritmul de actualizare a perimetrului funcționează și fără această preprocesare.

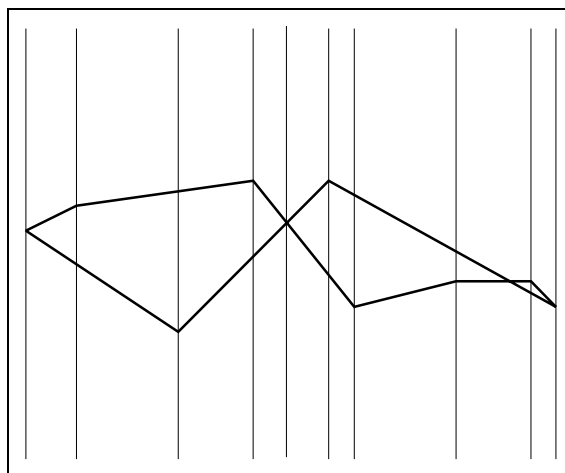


Figura 3.33 Vedere orizontală, perimetrul din lateral.

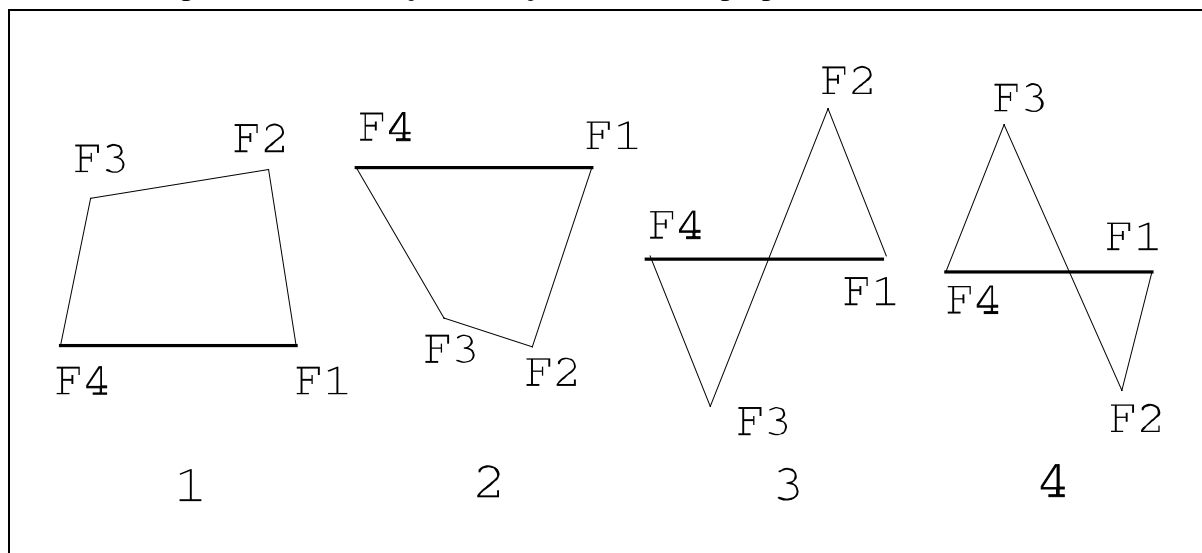


Figura 3.34 Cele patru poziții diferite în cazul vederii din lateral.

Preprocesarea Fațetei Dacă o fațetă este văzută din lateral atunci vârfurile sale pot fi așezate în patru moduri diferite. Vârfurile sunt numerotate în ordinea creșterii unghiurilor (vezi Figura 3.34). Latura îngroșată dintre F_1 și F_4 este deja prezentă întrucât este latură a unei fațete care precede fațeta curentă în ordinea de acoperire. Prin calculul coordonatei z a produselor vectoriale $(F_4-F_1) \times (F_2-F_1)$ și $(F_4-F_1) \times (F_3-F_1)$ se disting mai multe cazuri. Dacă F_2 se află la dreapta vectorului F_1F_4 , atunci $(F_4-$

Tabela I

caz	1	2	3	4
$(F_4-F_1) \times (F_2-F_1)_z$	-	+	-	+
$(F_4-F_1) \times (F_3-F_1)_z$	-	+	+	-

$F_1) \times (F_2 - F_1)_z$ este negativ. La fel pentru poziția lui F_3 . Rezultă cele patru cazuri din Tabela I.

Latura deja prezentă este fie parte fie în interiorul perimetrului, dar cealaltă trei laturi pot ieși din perimetru. Vârfurile acestor laturi se văd în Tabela II (s-au precizat numai indicii lui F).

Dacă fațeta este văzută din colț, atunci există 10 aranjamente diferite ale vârfurilor sale. Vârfurile sunt numerotate astfel încât F_1 are unghiul cel mai mic iar F_4 are unghiul cel mai mare (vezi Figura 3.35).

Laturile îngroșate dintre F_1 , F_2 și F_4 sunt deja prezente întrucât ele sunt laturi ale celor două fațete adiacente care o preced pe cea curentă în ordinea de acoperire.

Tabela II

caz	1	2	3	4
perimetrul exterior	1234		123	234
perimetrul interior		1234	234	123

Tabela III

caz	1	2	3	4	5	6	7	8	9	10
$(F_4 - F_1) \times (F_2 - F_1)_z$	-	-	-	-	-	+	+	+	+	+
$(F_2 - F_1) \times (F_3 - F_1)_z$	+	-	+	-	+	-	+	-	+	-
$(F_4 - F_2) \times (F_3 - F_2)_z$	+	-	+	+	-	-	+	-	-	+

În Tabela III se văd cele zece cazuri. Efectuând numai trei calcule, cazul 1 nu se poate distinge de cazul 3 și nici 6 de 8. Însă aceasta nu are importanță, deoarece cazul 1 este tratat identic cu cazul 3 și 6 cu 8. Laturile deja procesate sunt fie parte a perimetrului, fie în interiorul său, dar cealaltă două laturi pot să iasă din perimetru, după cum se vede în Tabela IV.

Tabela IV

caz	1&3	2	4	5	6&8	7	9	10
perimetrul exterior		134	134	134	134		34	13
perimetrul interior	134		34	13		134	134	134

Pseudounghiuri La căutarea celor două vârfuri ale perimetrului care conțin fațeta curentă, trebuie să comparăm unghiurile formate de vârfurile perimetrului și ale fațetei în jurul lui VZ. Dacă am lucra cu unghiuri reale, timpul de calcul ar fi foarte mare, dar putem să evităm aceasta dacă nu utilizăm unghiul și distanța până la VZ ca definiție a vertex-ului, ci utilizând coordonatele carteziane. În locul valorii reale a unghiului vom utiliza un

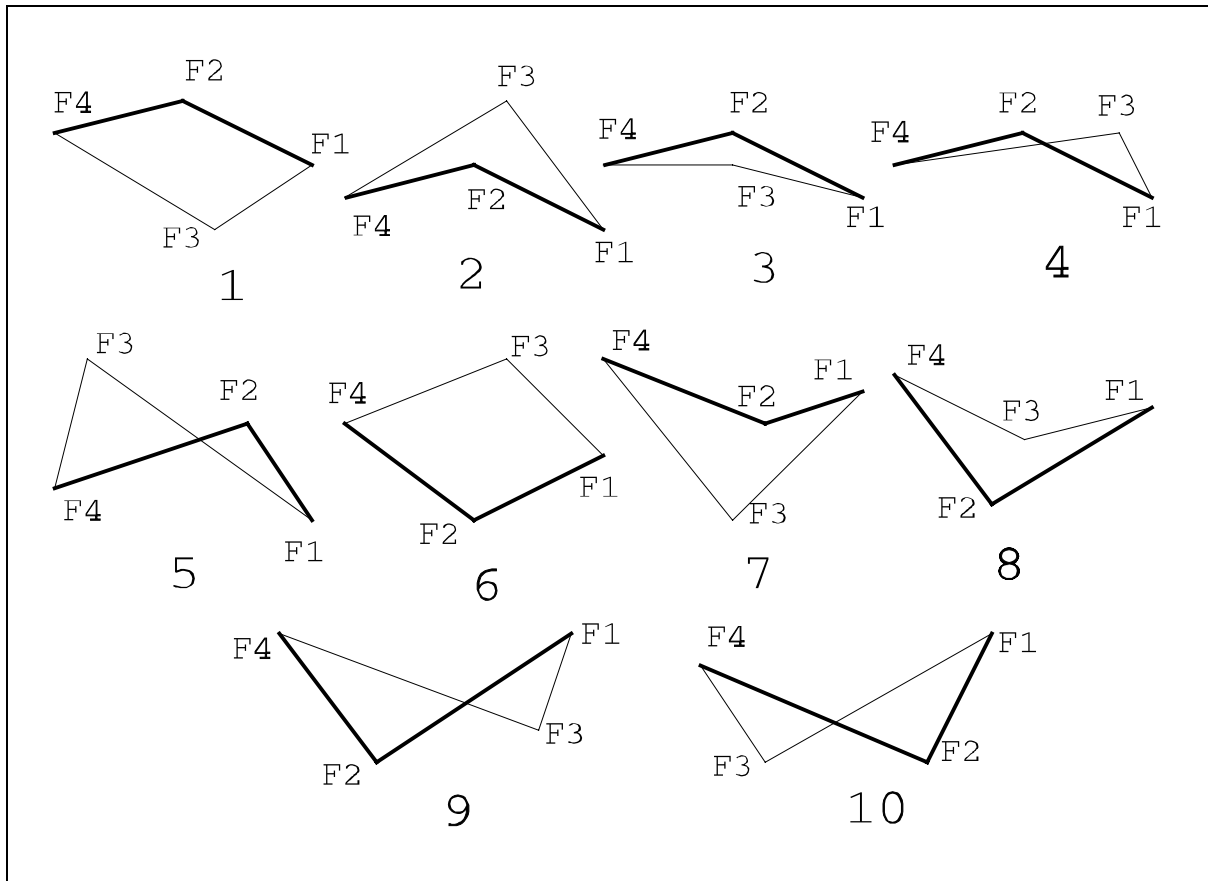


Figura 3.35 Cele zece poziții diferite la vederea din colț.

pseudounghi, care să păstreze numai ordinea vârfurilor în jurul lui VZ. Structura de date pentru perimetru este o listă înlănțuită a vârfurilor perimetrului. La parcurgerea acestei liste în una dintre direcții, pseudounghiurile vor (des)crește monoton și le vom utiliza doar la determinarea vârfurilor perimetrului care conțin fațeta. Fiecare element al listei perimetrului va conține coordonatele carteziene și pseudounghiul vertex-ului, după cum este definit în Figura 3.36.

La 45° valoarea pseudounghiului este 1; la 135° este 3; la 225° este 5, iar la 315° este -1.

Codificarea Algoritmului În majoritatea aplicațiilor practice (de exemplu harta unui teren) punctele grilei sunt uniform distribuite pe direcțiile x și z . Asemenea grile necesită spațiul minim de memorie: un tablou g bidimensional, pentru întreaga suprafață grilă. Coordonata x a grilei corespunde indicelui i al unui element al tabloului, iar coordonata z corespunde indicelui j . Înălțimea în punctul (i,j) este chiar valoarea elementului $g[i,j]$.

Poziția lui PO față de suprafața grilă determină ordinea de acoperire și tipul perimetrului care va fi utilizat (din față, din lateral sau din colț). Trebuie să efectuăm o transformare a planului de vedere și o proiecție perspectivă pentru fiecare element al grilei.

Pentru a obține o bună transformare a planului de vedere, trebuie să aplicăm o serie de reguli. Plasăm punctul de referință R aproximativ în mijlocul suprafeței grilă. Ca urmare, normala planului de vedere este descrisă de vectorul de la PO la R . Fie $2d$ distanța dintre PO

și R. Plasăm planul de vedere (ecranul) pe care efectuăm proiecția cam la distanța d de R, adică la jumătatea distanței dintre cele două puncte. În acest fel rezultă o perspectivă bună.

După transformarea planului de vedere, efectuăm o proiecție perspectivă pe planul de vedere, cu PO centrul proiecției. PO are acum coordonatele $(0,0,-d)$.

Nu este nevoie să efectuăm cele două transformări pentru *toate* fațetele, înainte de a începe trasarea. În acest fel, necesarul de memorie ar fi cam dublul tabloului original care memorează datele suprafeței grilă. De fapt, trebuie să efectuăm aceste transformări numai asupra vârfurilor fațetei care se procesează. Totuși, în funcție de ordinea în care parcurgem fațetele, dacă am memora o linie sau o coloană de vertex-uri transformate, am evita repetarea de patru ori a aceleiași transformări asupra unui vertex. Acest lucru nu este prezentat în cod.

Secvența de cod de mai jos actualizează perimetrul cu fațeta (i,j) în cazul unei vederi din față a suprafeței grilă, cu fațeta privită din lateral, $i=k$ sau $j=l$ (vezi Figura 3.26). Se disting patru secvențe diferite de parcurgere a vârfurilor fațetei, în funcție de poziția fațetei (i,j) față de fațeta (k,l) . În cazul considerat aici, o parcurgere în sens antiorar a fațetei (i,j) este $F_{i+1,j}$, $F_{i+1,j+1}$, $F_{i,j+1}$ și $F_{i,j}$; în cazul $i>k$ și $j=l$, această secvență este $F_{i,j}$, $F_{i+1,j}$, $F_{i+1,j+1}$ și $F_{i,j+1}$, și așa mai departe. Pentru simplificare, nu se face o preprocesare a fațetei, deși acest lucru ar reduce mult din numărul de vârfuri de parcurs. Nu vom încerca să tratăm orice caz posibil, ci dorim doar să ilustrăm ideea care stă la baza algoritmului.

Determinarea indicilor pentru ordinea de parcurgere arată oarecum bizar în cod, dar se bazează pe regulile de modificare a indicilor la parcurgerea în sens antiorar a celor patru vârfuri (vezi Figura 3.37).

Determinarea indicilor pentru ordinea de parcurgere arată oarecum bizar în cod, dar se bazează pe regulile de modificare a indicilor la parcurgerea în sens antiorar a celor patru vârfuri (vezi Figura 3.37).

Secvența de cod nu realizează și afișarea suprafeței grilă. Facem o serie de presupuneri:

- proiecția perspectivă a suprafeței grilă a fost efectuată;
- proiecția punctului de pe suprafață $(x_i, y_j, z_{i,j})$ are coordonatele $fx(i,j)$ și $fy(i,j)$ în planul de vedere;
- coordonatele lui VZ în planul de vedere sunt (vzx, vzy) ;
- perimetrul este o listă circulară înlănțuită.

```

type vertex = record x, y, a : real;
                  p          : ^vertex
end;

var dpx, dpy, dfx, dfy, ix, iy,
    cp1, cp2, cp3, cp4          : real;
    firstp, fațeta, lastf       : ^vertex;
    p1, p2, f1, f2              : ^vertex;

procedure intersect(var ix, iy : real);

```

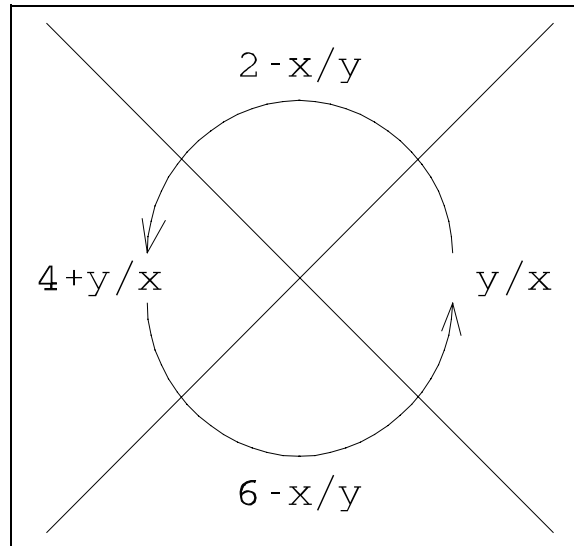


Figura 3.36 Pseudounghiuri.

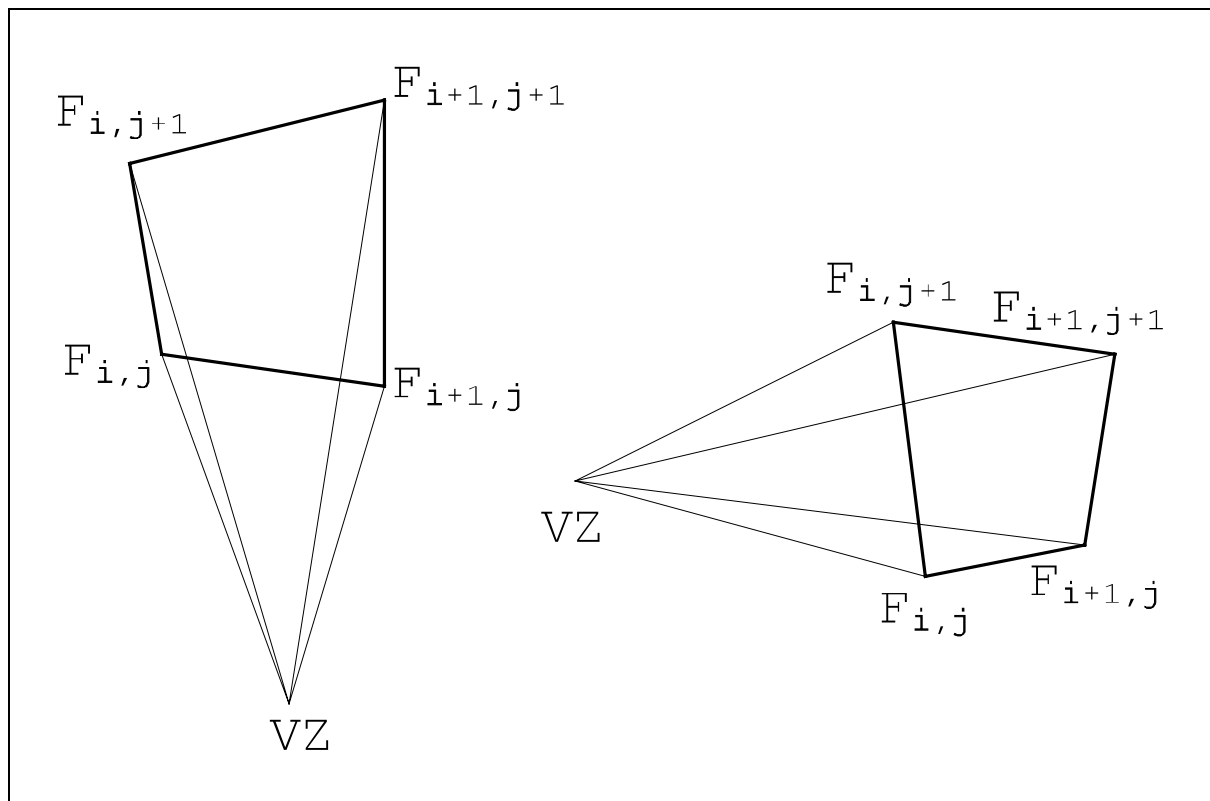


Figura 3.37 Parcurgerea în sens antiorar a vertex-urilor fațetei.

```

var d, s : real;
begin
  d := -dfx*dpy + dfy*dpx;
  s := (-(p1^.x-f1^.x)*dpy + (p1^.y-f1^.y)*dpx)/d;
  ix := f1^.x + s*dfx;
  iy := f1^.y + s*dfy;
end {procedure intersect};

function unghi(x, y : real) : real;
begin
  x := x-vzx; y := y-vzy;
  if abs(x) >= abs(y)
  then if x > 0
       then unghi := y/x
       else unghi := 4+y/x
  else if y > 0
       then unghi := 2-x/y
       else unghi := 6-x/y
  end {function unghi};

function maiMic(a1, a2 : real) : boolean;
begin {discontinuitatea din cadranul 3}
  if (a1 > 5) and (a2 < 1)
  then maiMic := true
  else maiMic := a1 < a2
end {function maiMic};

```



```

procedure completeazăListaFațetei(i, j : integer);
{ introduce vârful fațetei (i,j) în listă,
  în sens antiorar }
var di, dj : integer;
    f      : ^vertex;

begin
  {distinge cele patru cazuri}
  if i = k
  then if j > 1
    then begin di := 1; dj := 0
    end
    else begin di := 0; dj := 1
    end;
  if j = 1
  then if i > k
    then begin di := 0; dj := 0
    end
    else begin di := 1; dj := 1
    end;
  f := fațeta;
  repeat
    with f^ do begin
      {obține (x,y) prin transformarea planului de vedere
       și proiecție perspectivă a lui
       (i+di,g[i+di,j+dj],j+dj) }
      a := unghi(x,y);
      f := p;
      if di = dj
      then di := (di+1) mod 2
      else dj := (dj+1) mod s
    end
  until f = nil
end {procedure completeazăListaFațetei};

begin {determinarea intersecțiilor}
  {creează lista pentru patru vertex-uri; aceasta se
  execută o singură dată, înafara acestei secvențe,
  de aceea s-a trecut ca și comentariu
  new(fațeta);    lastf := fațeta;
  new(lastf^.p); lastf := lastf^.p;
  new(lastf^.p); lastf := lastf^.p;
  new(lastf^.p); lastf := lastf^.p;
  lastf^.p := nil; }

  { introduce fațeta(i,j) în listă }
  completeazăListaFațetei(i, j);

  {determină primul dintre cele două vârfuli care
  aparține perimetrului: firstp }

  p1 := firstp; p2 := p1^.p;

  f1 := fațeta; f2 := f1^.p;

```

```

repeat
  dpx := p2^.x-p1^.x;  dpy := p2^.y-p1^.y;
  dfx := f2^.x-f1^.x;  dfy := f2^.y-f1^.y;
  {calculează produsele vectoriale}
  cp1 := dpy*(f1^.x-p1^.x) - dpx*(f1^.y-p1^.y); {P1P2xP1F1}
  cp2 := dpy*(f2^.x-p1^.x) - dpx*(f2^.y-p1^.y); {P1P2xP1F2}
  cp3 := dfx*(p1^.y-f1^.y) - dfy*(p1^.x-f1^.x); {F1P1xF1F2}
  cp4 := dfx*(p2^.y-f1^.y) - dfy*(p2^.x-f1^.x); {F1P2xF1F2}

  {dacă există o intersecție dinspre interior spre exterior
   atunci o calculează}
  if (cp1 >= 0) and (cp2 < 0) and (cp3 >= 0) and (cp4 < 0)
  then intersect(ix, iy);
  {dacă există o intersecție dinspre exterior spre interior
   atunci o calculează}
  if (cp1 < 0) and (cp2 >= 0) and (cp3 < 0) and (cp4 >= 0)
  then intersect(ix, iy);

  {avansează pointerii}
  if maiMic(p2^.a, f2^.a)
  then begin
    p1 := p2; p2 := p2^.p
  end
  else begin
    f1 := f2; f2 := f2^.p
  end
until f2 = nil
end {codul pentru găsirea intersecțiilor};

```

Această secvență de cod determină toate intersecțiile laturilor fațetei (i,j) cu perimetrul. Avansul la următoarele vârfuri ale perimetrului și ale fațetei se vede în Figura 3.38. Termenii "mai mare" și "mai mic" se referă la unghiurile vertex-urilor. În calculul intersecției intervine o pereche de vârfuri ale perimetrului, P_i și P_{i+1} și o pereche de vârfuri ale fațetei, F_1 și F_2 . Prima latură a fațetei începe din F_1 , iar prima latură a perimetrului începe din P_i , deci următorul vertex F mai mare este F_2 , iar următorul vertex P mai mare este P_{i+1} . Acestea sunt capetele laturilor. Se caută posibila intersecție a acestor laturi prin metoda calculului produsului vectorial, și dacă aceasta există, ea se calculează. Apoi trebuie trecut la una din următoarele laturi. Dacă cel mai mare dintre cele patru vertex-uri este din P, atunci se ia următoarea latură a fațetei. Dacă s-ar lua următoarea latură din perimetru, ambele capete ale ei ar fi "mai mari" decât capetele laturii fațetei, deci nu există intersecție. De asemenea, dacă $F_2 < P_{i+1}$, atunci și următorul vertex al fațetei ar putea fi mai mic decât P_{i+1} , deci ar mai putea exista o intersecție. Analog în cazul în care cel mai mare vertex este din F. În caz de egalitate, luăm următoarea latură a fațetei. În Figura 3.39 se vede un exemplu concret.

În figură se vede pentru care laturi se caută intersecții:

început:	$P_i P_{i+1}$	cu $F_1 F_2$
avans F:	$P_i P_{i+1}$	cu $F_2 F_3$
avans P:	$P_{i+1} P_{i+2}$	cu $F_2 F_3$
avans P:	$P_{i+2} P_{i+3}$	cu $F_2 F_3$

Algoritmul are nevoie doar de primul vârf al perimetrului, P_{\min} . Determinarea lui P_{\min} constă doar într-o parcurgere a listei perimetrului și nu este inclusă în cod. Ținând cont de ordinea în care se adaugă fațetele la perimetru, nu este necesară parcurgerea întregului perimetru pentru determinarea lui P_{\min} .

S-a prezentat codul pentru o vedere din față; în acest caz avem numai un perimetru exterior. În celelalte cazuri există și un perimetru interior și fațeta trebuie comparată și cu acesta. Întotdeauna vom avea un număr par de intersecții, prima este o intersecție de ieșire, a doua - de intrare, și așa mai departe, în sens antiorar. Toate intersecțiile se adaugă la perimetru. De asemenea, vârfurile fațetei, situate între o intersecție de ieșire și una de intrare se adaugă la lista perimetrului, iar vârfurile existente anterior în lista perimetrului, între cele două intersecții, se elimină. Se vor trasa toate laturile dintre vârfurile care figurează în listă. Pentru o vedere din față, trasarea suprafeței grilă crește dinspre interior spre exterior.

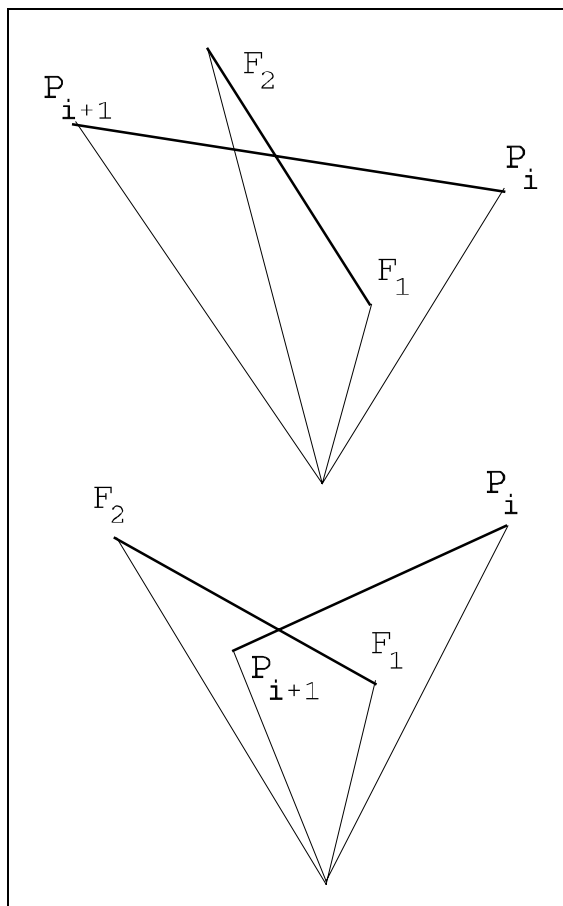


Figura 3.38

Cazuri Extreme Algoritmul de inițializare și actualizare a perimetrului trebuie modificat puțin pentru anumite cazuri extreme. Dacă punctul de observație PO se află într-un plan al grilei, atunci VZ va fi pe proiecția unei linii $x=x_k$ sau $z=z_l$, sau pe amândouă. Ca urmare, vârfurile perimetrului nu vor avea unghiuri monoton crescătoare la parcurgerea în sens antiorar. Însă secvența de cod se bazează pe această monotonie. O rezolvare simplă a acestei probleme este să divizăm suprafața grilă în două sau patru porțiuni. Dacă PO se află pe linia $x=x_k$, atunci suprafața grilă se divide în porțiunile de la stânga și de la dreapta ei. Similar, dacă PO se află pe linia $z=z_l$. Dacă PO este pe un punct al grilei, atunci avem două linii de demarcație și patru zone ale suprafeței grilă. Aceste porțiuni nu se pot acoperi una pe alta, deci ele pot fi procesate independent.

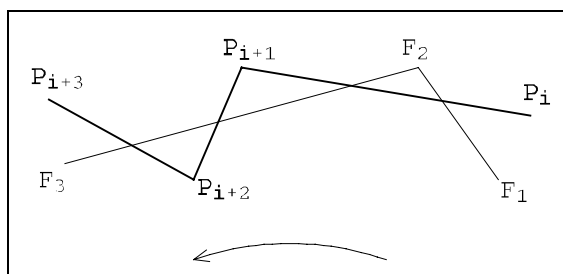


Figura 3.39 Intersecții fațetă-perimetru.

Să luăm în considerație procesarea unui cadran al suprafeței grilă și în cadrul acestui cadran vom procesa doar o fațetă adiacentă marginii $x=x_k$. În cazul celorlalte situații se aplică simetria. Presupunem că PO se află pe punctul grilei (x_k, z_l) și că procesăm cadranul din dreapta sus. Perimetrul se inițializează cu fațeta (k,l) (vezi Figura 3.40). P_b este transformarea vertex-ului $(k, g[k,l+1], l+1)$. P_a corespunde lui $(k+1, g[k+1, l], l)$.

Cele două vârfuri din stânga ale unei fațete (k,j) , cu $j>l$, se află pe o rază din VZ la

P_b . La procesarea unei asemenea fațete, vârfurile care se iau în considerație sunt:

F1 = transformarea lui $(k+1, g[k+1, j], j)$

F2 = transformarea lui $(k+1, g[k+1, j+1], j+1)$

F3 = transformarea lui $(k, g[k, j+1], j+1)$

în această ordine. Dacă y-ul lui F3 este mai mare decât y-ul lui P_b , atunci F3 se ia ca intersecție. Din aceasta rezultă următorul algoritm. La procesarea unei fațete adiacente razei din VZ la P_b , vom utiliza același ciclu ca și în secvența anterioară pentru trecerea la următoarele laturi din fațetă și perimetru. Însă după terminarea ciclului efectuăm testul de mai sus și putem obține încă o intersecție. La fel pentru fațetele adiacente razei de la VZ la P_a . Strategia de includere a intersecțiilor calculate în perimetru rămâne aceeași. Rezultă o suprafață în genul celei din Figura 3.41.

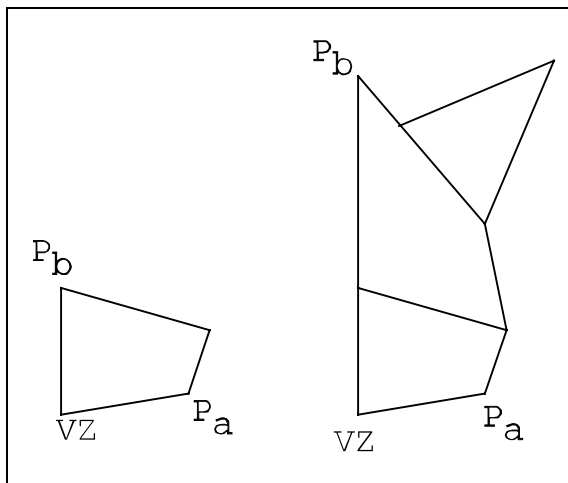


Figura 3.40 Caz special, perimetrul de start, la care se adaugă apoi încă două fațete.

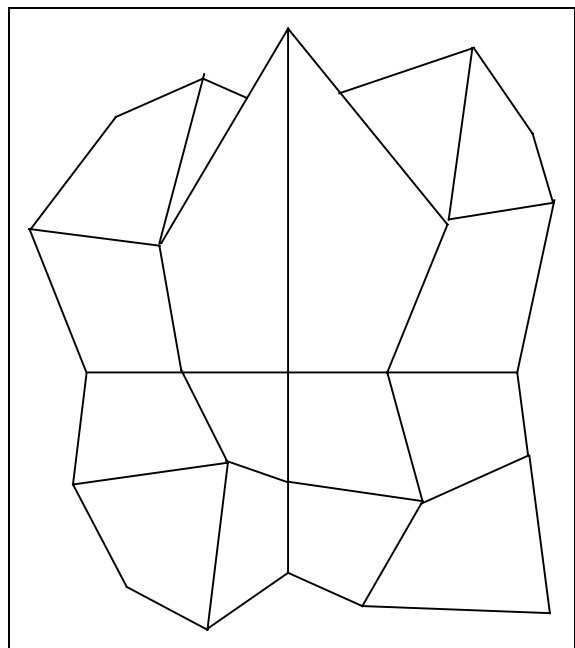


Figura 3.41 Vedere din față. PO este deasupra unui punct al grilei.